

وزارة التعليم والبحث العلمي
MINISTERE DE L'ENSEIGNEMENT ET DE LA RECHERCHE SCIENTIFIQUE

ECOLE NATIONALE POLYTECHNIQUE

DEPARTEMENT H Y D R A U L I Q U E



PROJET DE FIN D'ETUDES

S U J E T

CONCEPTION D'UNE CHAMBRE
D'ASPIRATION
D'UNE STATION DE POMPAGE

Proposé par :

Mr: BOUACHE M

Etudié par :

Mrs:M.M.GUENOUNOU

Dirigé par :

Mr BOUACHE

M.GUERROUDJ

PROMOTION : FEVRIER 1987

الجمهورية الجزائرية الديمقراطية الشعبية
REPUBLIQUE ALGERIENNE DEMOCRATIQUE ET POPULAIRE

وزارة التعليم والبحث العلمي

MINISTÈRE DE L'ENSEIGNEMENT ET DE LA RECHERCHE SCIENTIFIQUE

ECOLE NATIONALE POLYTECHNIQUE

DEPARTEMENT HYDRAULIQUE



PROJET DE FIN D'ETUDES

S U J E T

CONCEPTION D'UNE CHAMBRE
D'ASPIRATION
D'UNE STATION DE POMPAGE

Proposé par :

Mr: BOUACHE.M

Etudié par :

Mrs: M-M-GUENOUNOU
GUERROUDJ

Dirigé par :

Mr: BOUACHE

PROMOTION : FEVRIER 1987

Dédicace

المدرسة الوطنية المتعددة التقنيات
BIBLIOTHEQUE —
المكتبة —
Ecole Nationale Polytechnique

Je dédie ce modeste travail à :

- mes parents
- mes frères et soeurs
- la mémoire de ma mère
- toute la famille
- tous les amis

MOKRANE

Je dédie ce modeste travail à :

- mes parents
- la mémoire de mon frère
- mes frères
- mes amis

MUSTAPHA

المدرسة الوطنية المتعددة التقنيات
المكتبة —
BIBLIOTHEQUE —
Ecole Nationale Polytechnique

Remerciements

Nous remercions vivement notre promoteur
Mr Bouacha. M pour l'aide qu'il nous a
apportée au cours de l'élaboration
de cette étude.

Toute notre gratitude
à Monsieur ABDELLAH CHEF de
département d'hydrologie.

A tous les professeurs et assistants qui
ont contribué à notre formation *

SOMMAIRE

المدرسة الوطنية المتعددة التقنيات
المكتبة — BIBLIOTHEQUE —
Ecole Nationale Polytechnique

INTRODUCTION	1
chapI Considerations générale	3
d'une station de pompage	
I.1 Tracé général	3
I.2 Types et nombre de pompes	4
I.3 principales dispositions	5
3.1 Considerations sur les	
Systèmes d'installations	
I.4 Choix des pompes	11
I.5 Calcul du Volume utile d'une	
chambre d'aspiration	14
I.6 Analyse des phénomènes hydrostatiques	
liés au fonctionnement d'une station	
de pompage	
6.1 Origines de la formation des mouvements	15
tourbillonnaires et autres anomalies	
6.2 Influence de la non uniformité du champ	22
de vitesse à l'entrée de la roue	
6.3 Influence des pertes de charge dues	24
aux mouvements tourbillonnaires sur la	
caractéristique de la pompe	
6.4 Influence de la non uniformité du champ	26
de vitesse sur la charge nette à l'aspiration	28
6.5 EFFETS de la cavitation sur l'installation	
6.6 Influence de l'entraînement d'air par le	30
vortex sur l'installation	
CONCLUSION	
chapII ETUDES EXPERIMENTALES	32
II.1 Configurations expérimentales	
des chambres	32

II.2 Conditions de Formation	-	32
2.1 importants paramètres	-	33
22 Résultats des expériences de	-	
plusieurs auteurs	-	
II.3 Définition d'un critère d'étude	...	43
3.1 Seuil de formation du vortex	- - -	43
3.2 Contrôle du vortex ou des	- - -	46
mouvements tourbillonnaires	-	
33 Fréquence et durée des vortex	- - -	55
aéries pour des conditions données	-	
II.4 moyen de la détermination de	- - -	58
la circulation	-	
Chap III MODELISATION DES PHÉNOMÈNES	- -	61
DE VORTEX		
III.1 Utilités des modèles	- - - - -	61
III.2 Similitude des vortex	- - - - -	61
III.3 principaux critères	- - - - -	61
III.4 Impossibilité de la réalisation	- - -	63
d'une similitude complète	-	
III.5 Lois de similitudes réalisées	- - -	65
5.1 détermination de la submersion	- - -	67
5.2 Mesure de la circulation	- - - - -	72
5.3 Recherche de l'échelle de vitesses U_r	- - -	73
5.4 EFFETS d'échelle	- - - - -	82
ANNEXE		
I Configurations à recommander	- -	84
I.1 avec une seule pompe	- - - - -	84
I.2 plusieurs pompes	- - - - -	88
II AMELIORATIONS des Conditions	- -	89
d'écoulement	-	
1) augmenter la submersion	- - - - -	89
2) modifications des conditions d'approche	- - - - -	89
3) Dispositifs anti-vortex	- - - - -	90
CONCLUSION	- - - - -	95

NOMENCLATURE

GRANDEURS

SYMBOLES

DIMENSIONS

intensité de la proréation	Q	sans dimension
largeur d'entrée	C	L
composante tangentielle	C_u	$L T^{-1}$
diamètre de la tulipe	D	L
diamètre de la conduite d'aspiration	d	L
hauteur réelle	H	L
Hauteur dynamique	H_d	L
Hauteur géométrique	H_g	L
Hauteur théorique	H_{th}	L
profondeur d'eau	h	L
perte de charge	Δh	L
coefficent de frottement total	K	sans dimension
coefficent due à la composante du tourbillon	K_f	- II -
coefficent de frottement due à l'écoulement dans la conduite	K_s	- II -
coefficent dépendant du rendement hydraulique et des dimensions de la pompe	K_1, K_2	- II -
longueur de la chambre	L	L
vitesse spécifique	n_s	
pression atmosphérique	P_0	$MT^{-2} L^4$
pression de la vapeur du fluide P_v		$MT^{-2} L^{-1}$
débit	Q	$L^3 \cdot T^{-1}$
rayon de courbure de la trajectoire	r	L
submersion	s	L
periode qui s'épare deux démarrages	T	T
temps de vidange	t_v	T
vitesse de la proréation	t	T
temps de remplissage	t_r	T
vitesse relative	U	$L T^{-1}$
vitesse moyenne	V	$L T^{-1}$
capacité utile	V_U	L^3
vitesse absolue	U	$L T^{-1}$
vitesse radiale	U_r	$L T^{-1}$
rayon de la chambre	R_x	L
vitesse méridienne	U_U	$L T^{-1}$
distance du tuyau à la paroi opposée à la face d'entrée	X_F	L
distance à la paroi verticale	X_L	L

distance entre les xp	xp	L
pompes	y	L
distance tulipe au radier	z5	L
cote entre l'axe de la pompe		
et la surface libre		
vitesse angulaire	w	
contrainte de cisaillement	tau	$ML^{-4}T^{-2}$
masse volumique	rho	ML^{-3}
circulation du fluide	Gamma	L^2T^{-1}
viscosite cinematique	U	L^2T^{-1}
tension superficielle	V	MLT^{-3}
poids specifique	W	$ML^{-4}T^{-2}$
longueur d'onde	lambda	L
echelle de longueur	lambda	"
echelle de vitesse	lambda_v	"
echelle de temps	lambda_t	"
echelle de pesanteur	lambda_g	"
echelle de tension superficielle	lambda_sigma	"
echelle de densite	lambda_rho	"
nombre de Froude	lambda_F	"
nombre de Reynolds	lambda_Re	"
nombre de Weber	lambda_W	"
		sans dimension
		— " —
		— " —
		— " —
		— " —
		— " —
		— " —
		— " —
		— " —
		— " —
		— " —

20/4

INTRODUCTION

Dans certains ouvrages hydrauliques, des mouvements tourbillonnaires assez importants peuvent se produire lorsque l'eau passe d'un état d'écoulement à surface libre, à un écoulement en charge, notamment dans les chambres d'aspirations des stations de pompage.

Une masse tourbillonnaire engendre un débalancement des forces qui agissent sur les différents éléments, de l'installation de pompage, entraînant par conséquent de fortes vibrations, chute de rendement etc..

En absence d'une théorie précise permettant dans chaque cas particulier, de pré-déterminer les risques d'apparition des vortex, il est nécessaire d'entreprendre des études expérimentales sur des modèles réduits. En effet les conditions de formation des phénomènes tourbillonnaires (vortex aéré, vortex submersés) dépendent non seulement des conditions hydrauliques de l'écoulement (debit, hauteur d'eau), mais aussi des formes géométriques de la chambre d'aspiration.

L'étude de la variation de ces différents paramètres hydrauliques et géométriques est très instructive, mais que très rarement réalisable.

plusieurs critères d'étude peuvent être utilisés, tel

que le seuil de formation du vortex, contrôle des mouvements tourbillonnaires et fréquence et durée du vortex aéri.

Les conditions réelles de similitude des vortex peuvent être déterminées à partir de l'examen de la formation du vortex, sur des modèles semblables mais d'échelles linéaires différentes. Elles sont d'ailleurs indispensables à connaître pour les comparaisons modèles - prototypes, permettant de vérifier la valeur des dispositifs anti-vortex proposés.

**CONSIDERATIONS
GÉNÉRALES
D'UNE STATION
DE POMPAGE**

I CONSIDERATIONS GENERALES D'UNE STATION DE POMPAGE

II Tracé général

la conception d'une station de pompage varie, selon les conditions, et les exigences de l'exploitation.

la figure 1, représente le schéma type d'une station de pompage nous pouvons distinguer, trois zones:

l'alimentation (zone I) peut se faire, soit par une conduite, soit par un déversoir, si l'eau provient d'un canal, barrage ou d'une rivière.

la zone d'approche (zone II) dans laquelle nous distinguons un écran grossier, permettant d'arrêter les éléments solides, des sections réduites et des grilles, permettent à leurs part de contrôler et de tranquilliser l'écoulement, mais occasionnant des pertes de charge importantes.

Ces dispositifs ne sont utilisés que pour le pompage d'eau brute.

la chambre d'aspiration proprement dite, représentant la zone III peut avoir différentes formes, mais généralement les formes carré et rectangulaire sont les plus utilisées, du fait de la facilité de leurs constructions, par rapport aux autres formes.

l'aspiration se fait dans la bâche, soit par une courte conduite (horizontale ou verticale) plongeant dans la bâche et amenant l'eau

Schema D'une Station De pompage.

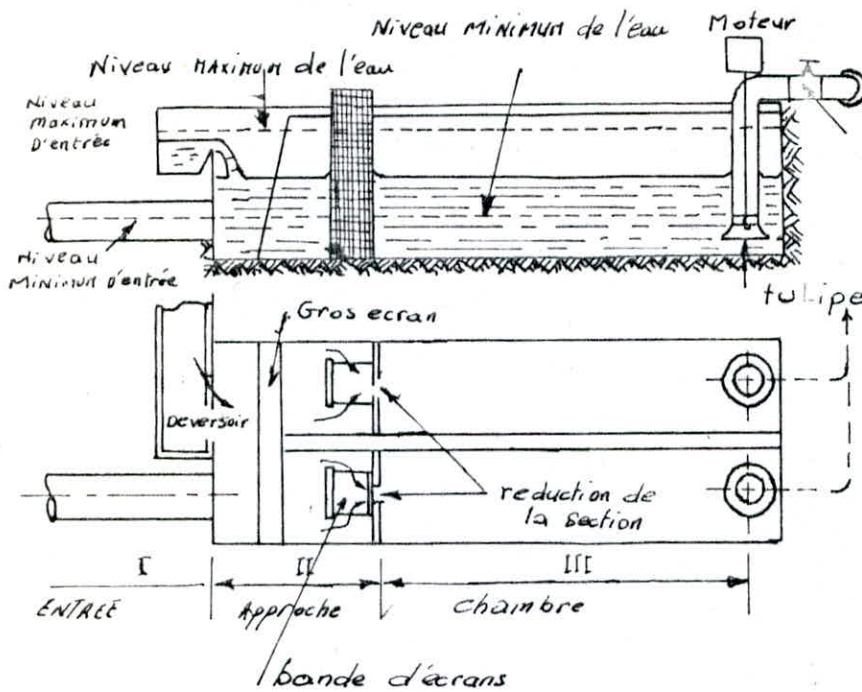


Figure I.1"

à la roue de la pompe, soit que la pompe elle-même soit immergée dans la chambre d'aspiration.

I.2 Types et nombre de pompes

Selon la norme AFNOR de classification et de terminologie des pompes hydrauliques Jousse [20].

On distingue deux grandes classes de pompes.

les Turbo-machines, et les pompes Volumétriques.

les premiers étant actuellement de loin les plus utilisés
on entend par Turbo-machines :

- 1) les pompes centrifuges, avec roue à écoulement radial.

- 2) Les pompes à écoulement axial
 - 3) Les pompes hélico-centrifuges, avec roue à écoulement semi-axial (ou à écoulement mixte.).
- la Figure 2 représente les schémas de ces différentes types, et leurs caractéristiques.

les pompes centrifuges sont employées, pour les pompages de grandes hauteurs et de faibles débits.

pour de faible hauteur, et de grand débit, les pompes à écoulement axial sont nécessaires.

pour des hauteurs et des débits moyens, les pompes à écoulement semi- axial, peuvent être utilisées.

le nombre de pompe varie suivant la hauteur et le débit désiré en pratique il est nécessaire, d'installer plus d'une pompe.

Généralement dans les stations de pompage, le nombre varie entre deux et six pompes.

I.3 principales dispositions

les principales dispositions sont généralement les suivantes:

1. disposition horizontale.

cette disposition est la plus classique, elle est généralement adoptée, pour les pompes, de surface, la pompe et le moteur d'entraînement sont montés, horizontalement, l'entretien et le démontage de la pompe sont simplifiés.

Types de pompe et leurs caractéristiques

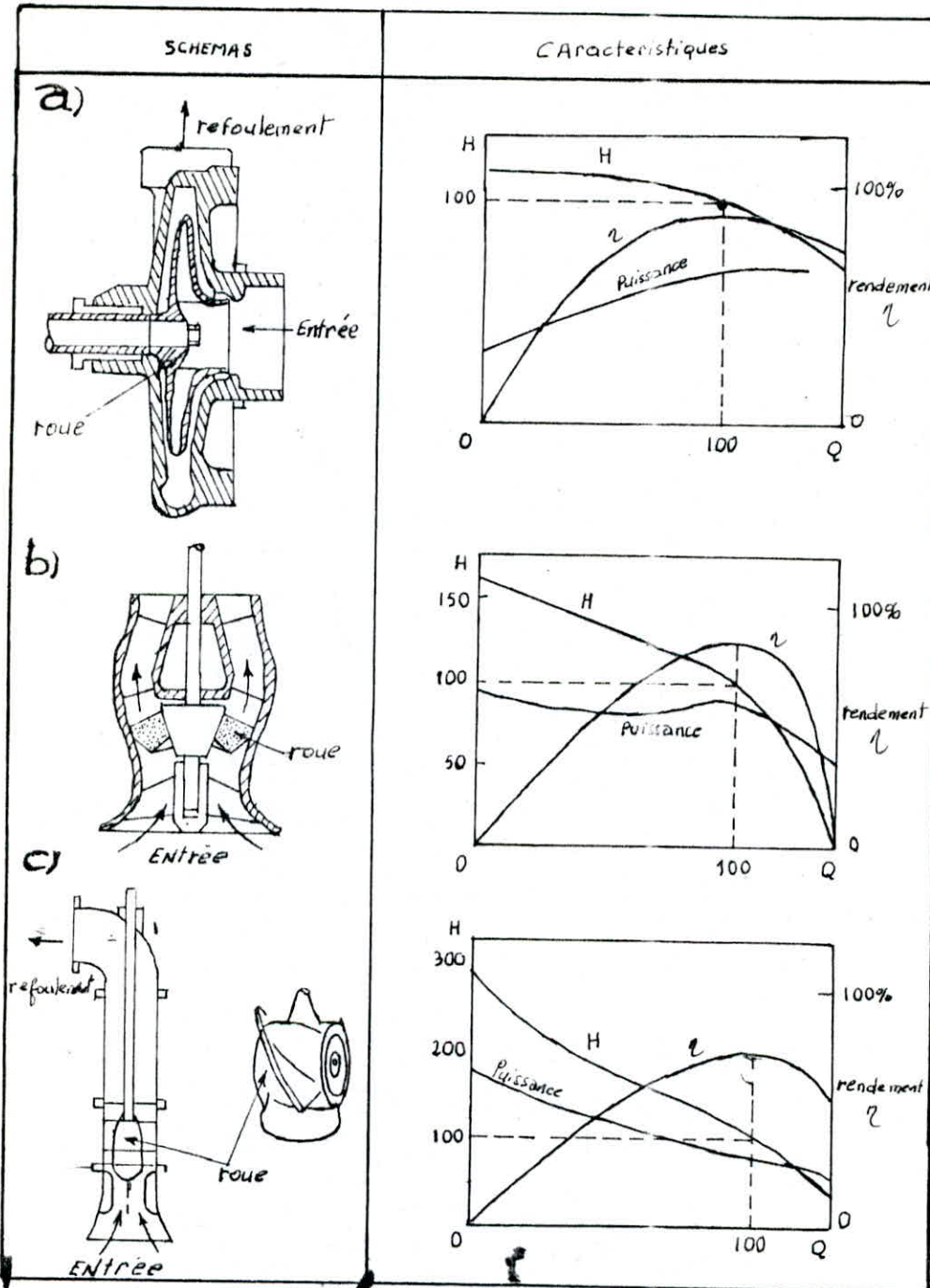


Figure "2"

- a:** pompe centrifuge
- b:** pompe à écoulement mixte
- c:** pompe à écoulement axial

2) disposition verticale:

Cette disposition concerne les installations mettant en œuvre : les groupes avec moteur situé au dessous de la pompe, avec pompe noyée, ligne d'arbre et moteur en surface sur un bâti, avec pompe en fosse sèche ligne d'arbre et moteur situé sur un niveau plus élevé et monté sur un bâti.

3) disposition immergée :

elle regroupe les installations réalisées avec pompe et moteur noyé, elle est le plus souvent verticale, mais pouvant dans certains cas être oblique, ou même horizontale.

quelques exemples de schémas d'installation sont donnés par la figure 3

la figure 3a représente l'installation verticale avec pompe immergée la figure 3b montre une installation verticale avec aspiration horizontale, où la pompe et la conduite sont isolées de la chambre d'aspiration, la tulipe est ancrée dans le mur séparateur.

la figure 3c a la même disposition que 3b, seulement là, la tulipe est rabattue d'un angle de 90° vers le radier notons que la figure 3a a l'avantage de réduction des coûts de génie-civil, maintenance et la réparation en cas de panne sont des inconvénients par rapport à 3b et 3c.

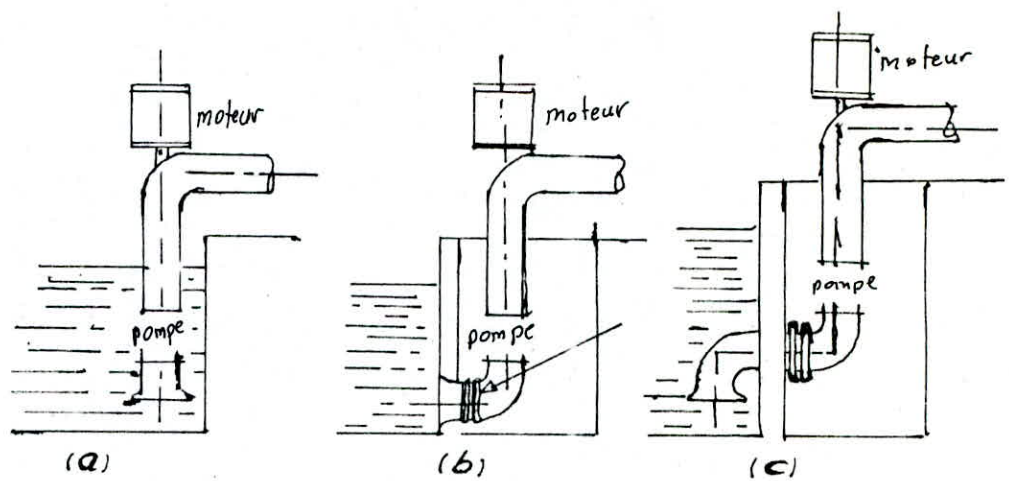


Figure 3.4

I 3.1: Considerations Sur les Systèmes d'installation

En adduction d'eau, les systèmes d'installations sont essentiellement fonction des conditions d'aspiration, c'est à dire de la différence entre la côte du niveau du sol naturel et la côte du niveau dynamique de l'eau, que l'on appelle H_d .

Pratiquement il existe deux types d'installations.

Le premier correspondant à une hauteur H_d compatible avec la hauteur pratique d'aspiration d'une pompe est nettement inférieure à la pression atmosphérique.

Le deuxième pour une hauteur H_d supérieure à la hauteur pratique d'aspiration et donc aussi à la pression atmosphérique.

a) Système d'installation pour H_d supérieur à la hauteur pratique d'aspiration.

a) installation en cuvelage ou en fosse sèche.

Elle a l'avantage, ou permet l'alimentation en charge de la pompe, l'emploi de tous types classiques de pompes par conséquent, généralement toutes les puissances et caractéristiques hydrauliques, mais l'inconvénient c'est qu'elle exige des travaux de génie-civil importants et coûteux et elle n'est réalisable que pour de faible hauteur H_d .

b) pompe verticale immergée

celle-ci étant noyée, présente un avantage de mettre la pompe automatiquement en charge, elle permet d'atteindre d'assez grandes profondeurs, et de réaliser, toutes les caractéristiques hydrauliques. Elle présente un inconvénient, dans le montage qui est assez long, relativement délicat, par voie de conséquence, en cas de réparation, le temps d'intervention et d'immobilisation risque d'être assez long.

c) groupe electro-pompe immergé

ont l'avantage de mettre automatiquement la pompe en charge à l'aspiration, du fait de l'immersion totale du groupe, ne demande pas d'entretien,

l'inconvénient c'est qu'elle nécessite une source d'énergie électrique.

2) Systèmes d'installations pour hauteur H_d inférieure à la hauteur pratique

dans ce cas d'installation, tous les systèmes énumérés dans le cas précédent sont également applicables, chacun conservant les caractéristiques spécifiques qui lui sont propres, de toute évidence, en cas d'application de l'une quelconque de ces solutions, l'avantage incontestable qui en résulte est de mettre la pompe en charge à l'aspiration ce qui supprime tous les inconvénients découlant d'un déclenchement accidentel.

a) pompes auto-amorçantes

sont désignées ainsi, les pompes capables d'aspirer en permanence sans aucun artifice, un mélange d'eau et de gaz.

ont l'avantage d'avoir en général un $NPSH$ requis plus faible,
et permettent ^{d'éviter} l'emploi d'un dispositif d'amorçage et aussi de fonctionner malgré la présence de gaz ou d'air, mais sont sensibles aux risques d'abrasion

b) pompes non auto-amorçantes.

présente l'avantage d'avoir un domaine d'application illimitée
sont moins sensibles à l'abrasion.

leurs inconvénients c'est qu'elles exigent de réaliser une installation particulièrement soignée et nécessitent de prendre toutes précautions et dispositions pour éviter le désamorçage.

I-4 Choix des pompes

Soit H la hauteur réelle engendrée, qui est reliée à la hauteur théorique H_{th} .

$$H_{re} = H_{th} - \text{pertes de charge dans la pompe.}$$

ou $H_{th} = f(Q)$ est reprise sur la figure 4 par une droite en retranchant la perte de charge il s'en déduit la courbe caractéristique réelle de la pompe qui est une parabole.

soit maintenant H_g la différence de niveau entre le plan d'aspiration et le plan de refoulement est représentée par

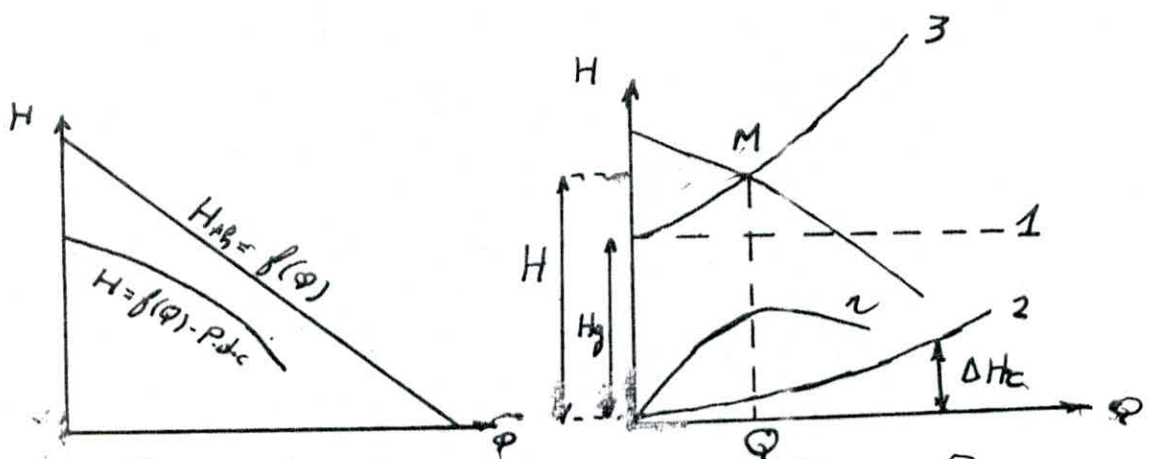


Figure 4
Caractéristiques d'une pompe
centrifuge

Figure 5
point de fonctionnement.

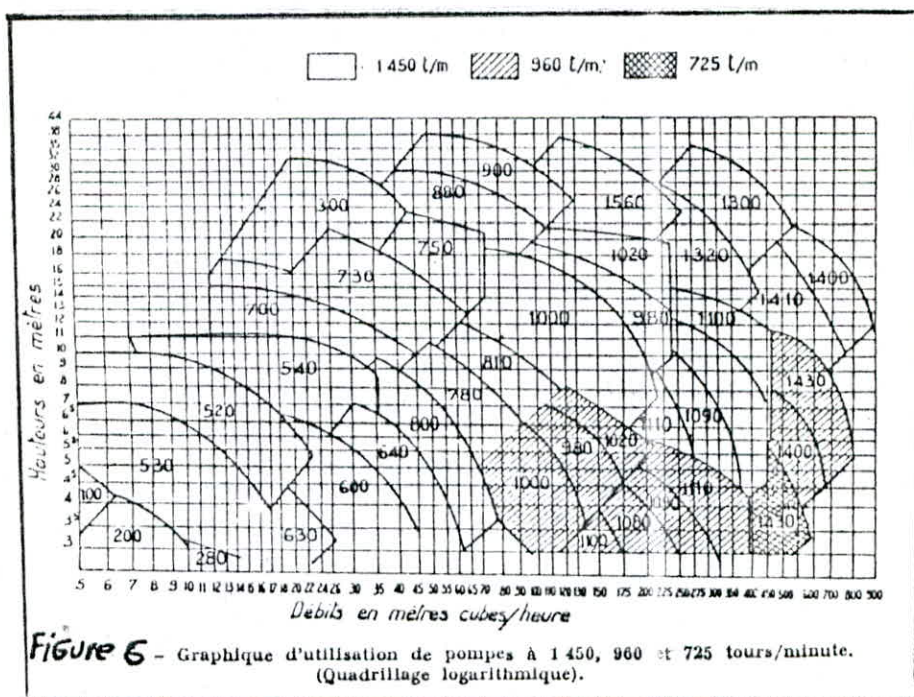
l'horizontale 1 sur la figure 5 , et ΔH_c la perte de charge produite dans la conduite, qui est proportionnel au carré du débit , qui est représentée par la parabole 2 (fig 5). la somme de ces deux quantités donne la caractéristique de la canalisation parabole 3 (Figure 5).

Le point d'intersection M des courbes (2) et (3) appellé point de fonctionnement de la pompe définit un débit Q à refouler et une hauteur de refoulement $H = H_g + \Delta H_m$ ce point doit se situer dans la zone de rendement maximal en pratique, il y a lieu de rechercher le type de pompe donnant le meilleur rendement économique en faisant varier la vitesse de la pompe.

cette vitesse est liée à celle du moteur électrique d'entraînement qui est de 3000, 1000, ou 750 tours-minute.

Les constructeurs réalisent toute une série de groupes plus ou moins voisins et ne donnent, pour chacun d'eux que la

portion du plan du diagramme (H , Q) où le rendement est acceptable. La figure 6 analogue à un diagramme industriel représente, les zones de bon fonctionnement de pompes d'un constructeur, les pompes étant référencées par un numéro et ce en fonction de la vitesse d'entraînement, donc connaissant à priori l'ordre de grandeur des hauteurs et débits à atteindre, le type de pompe est choisi d'après la zone dans laquelle se placera le point éventuel de fonctionnement (par exemple pour $Q = 50 \text{ m}^3/\text{h}$ et $H = 13 \text{ m}$ pompe 730). Notons qu'une même pompe peut donner lieu à plusieurs zones du plan suivant la vitesse à laquelle elle tourne.



I.5 Calcul du Volume utile d'une chambre d'aspiration.

La capacité de la chambre d'aspiration est déterminée en fonction des différences entre le débit d'alimentation et le débit des pompes.

$$\text{Soit } T = t_v + t_r$$

où T la période qui s'écoule entre deux démarriages consécutifs.
 t_v le temps de vidange de la bâche d'aspiration.

t_r le temps de remplissage de la bâche d'aspiration.

$$t_v = \frac{V_u}{Q_m - Q} \quad \text{et} \quad t_r = \frac{V_u}{Q}$$

V_u est le volume utile de la bâche d'aspiration

Q_m est le débit maximum d'alimentation

Q est le débit de pompage

avec $Q = \alpha \cdot Q_m$ où α varie entre $0 < \alpha < 1$

remplaçons Q par sa valeur dans t_v et t_r

$$T = \frac{V_u}{Q_m - \alpha \cdot Q_m} + \frac{V_u}{\alpha \cdot Q_m} = \frac{V_u}{Q_m} \left[\frac{1}{1-\alpha} + \frac{1}{\alpha} \right]$$

$$\text{posons } y = \frac{1}{1-\alpha} + \frac{1}{\alpha} \quad \text{donc } T = \frac{V_u}{Q_m} \cdot y$$

après une opération de dérivation de y , la valeur optimale est égale à 4 pour $\alpha = \frac{1}{2}$, donc on aura le temps le plus faible qui s'écoule entre deux remises en route est: $T = \frac{V_u \cdot 4}{Q_m}$.

Comme ce temps est une valeur que l'on se fixe la capacité utile de la bâche sera : $V_u = \frac{Q_m \cdot T}{4}$

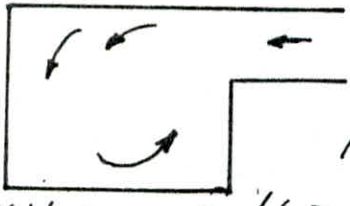
dans le cas où on a plusieurs pompes et si toutes les pompes sont identiques
 le débit de chacune est $\frac{Q_m}{n}$ d'où $V_u = \frac{Q_m \cdot T}{4 \cdot n}$ où n est le nombre de pompes

I.6 Analyse des phénomènes hydrauliques liés au fonctionnement d'une station de pompage

I.6.1. Origines de la formation des mouvements tourbillonnaires et autres anomalies.

Dans certains ouvrages hydrauliques, des mouvements tourbillonnaires assez importants peuvent se produire, lorsque l'eau passe d'un état d'écoulement, à surface libre à un écoulement en charge.

Ils peuvent prendre naissance, à partir, des formes constructives de la chambre, ainsi que par les conditions d'exploitations. Pour ce qui est des formes constructives, nous pouvons citer; les changements brusques de la direction de l'eau (soit à l'accès dans la chambre, soit à l'entrée dans les sujeurs), la symétrie d'accès de l'eau dans les sujeurs, la forme des zones de stagnation (eaux mortes), les arêtes, les coins ou les coude de la chambre.

 les conditions d'exploitation influencent la formation des tourbillons, autant par le niveau d'eau dans la chambre, que par le débit pompé. L'écoulement tourbillonnaire est souvent causé par une rotation du fluide dans le puisard (voir fig 7b). Son intensité augmente de plus en plus que l'écoulement s'approche de la prise. Le tourbillon peut être accompagné d'une rapide rotation.

AUTRES ANOMALIES.

1 VORTEX de surface : Voir figure: 8.C

Les vortex de surface, sont des mouvements tourbillonnaires, très intenses, qui créent, en un point une sorte d'entonnoir, ou d'un filament tourbillonnaire, capable d'entrainer, dans son évolution des débris flottants.

Lorsque le filament, devient un cône ouvert, par lequel, l'air peut être entraîné, on dira dans ce cas que le vortex est aéré.

Les vortex de surface, se forment, généralement, entre la surface libre de l'eau, et les orifices de prise. Ils sont probablement les plus reconnus, aux problèmes hydrauliques dans les installations des pompes, ils sont facilement détectés aussi bien dans le modèle, que dans le prototype. Ils dépendent de la géométrie de la chambre, de la capacité de la pompe, et de la submersion. Lorsqu'un vortex de surface est créé dans une chambre d'aspiration, et qu'il est continuellement aéré, il peut causer des vibrations au niveau de l'installation et réduire le rendement, mais quand on a des détachements intermittents des bulles d'air, ce phénomène n'est pas encore développé (faible intensité) donc ne donne pas d'effets néfastes. Toute fois si l'air n'est pas entraîné, l'écoulement tourbillonnaire au niveau de la surface libre peut créer des problèmes. Toute dissymétrie, ou prérotation de l'écoulement, auprès des prises, associée à une région d'eau morte favorise l'apparition des vortex aérés.

2. VORTEX SUBMÉRGÉS. (Torches) (voir Fig 7.a.)

Ils prennent naissance près des parois latérales et du radier. Dans les modèles, le noyau du vortex peut être visible en injectant une teinte (colorant) auprès du phénomène. Parfois, le vortex apparaît sous forme de bulles d'air qui se concentrent et forment le noyau. probablement l'origine des vortex submersés peuvent être issus de petits tourbillons qui se forment au niveau du radier du puisard et aux approches des parois latérales.

Il y a également une possibilité où l'air peut être entraîné, c'est lors d'une rotation rapide du noyau du vortex, qui donne lieu à des points de faibles pressions. L'intensité et l'emplacement de ces vortex, dépendent de la circulation à l'intérieur de la chambre d'aspiration et de la distance entre la tulipe et le radier. Ces vortex sont appelés encore vortex de fond. notons que les vortex submersés ne dépendent pas des vortex de surface.

3. DéFORMATION DU DIAGRAMME DE LA VITESSE D'ÉCOULEMENT (voir Fig 7.D)

Généralement cette déformation est causée par quelques formes dissymétriques de l'écoulement dans le puisard. La distribution de la vitesse d'écoulement dans la chambre de prise n'est pas la même sur les deux parois latérales par exemple, ou qu'elle est plus importante au niveau de la surface qu'approximativement du radier. Cette distribution non uniforme, peut être la cause

principale dans la formation des tourbillons, et vortex.

4 Stagnations voir Figure 7.e

les grandes surfaces d'eau au dessus ou derrière l'orifice de prise, sont presque stationnaire. le seul mouvement entre ces surfaces stagnantes, est due au frottement issue entre la "surface" les séparant de l'écoulement principal vers la prise. Les regions de stagnations, sont l'origine de l'instabilité de l'écoulement, et augmentent les chances de l'entrainement d'air.

5. Ecoulement aérien. Voir figure 8.b

les bulles d'air dans la chambre d'aspiration sont principalement dues à la chute du jet d'eau, alimentant la chambre, situé au dessus du niveau de la surface libre.

6. Bruit due à l'air. Voir Figure 8.a.

avec le niveau d'eau, juste au dessus, de l'orifice de prise, il y'a tendance, d'admission d'air continuellement, ou par intermittence, il pourrait y avoir, une création d'une dépression locale sur la surface libre.

7. Aspiration troublée. Voir Figure 7.c

Lorsque deux pompes, sont disposées l'une derrière l'autre et parallèlement au sens de l'écoulement, alors la deuxième pompe aspire l'eau qui se trouve dans la région où l'écoulement, est déjà rendu turbulent, par la première pompe.

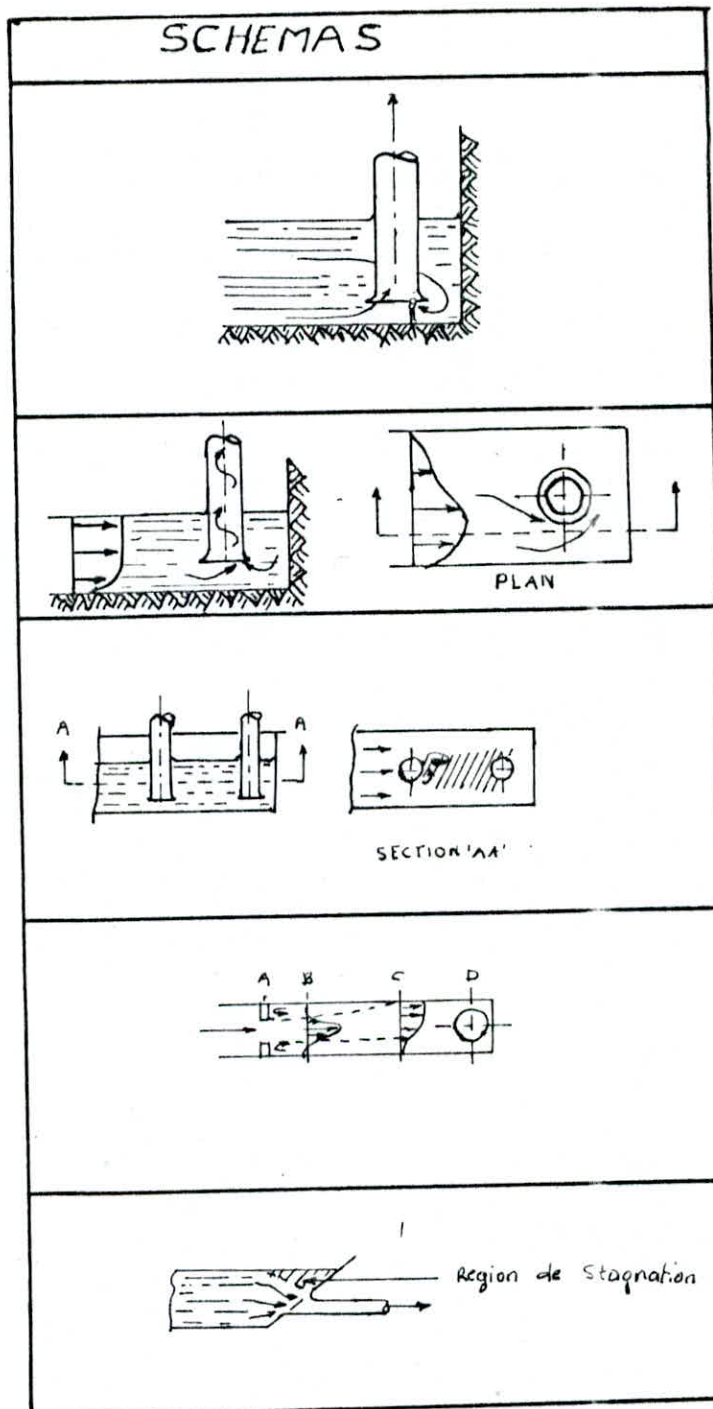
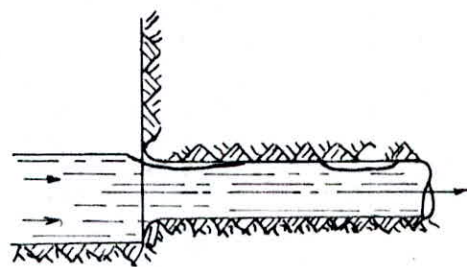


FIGURE 7

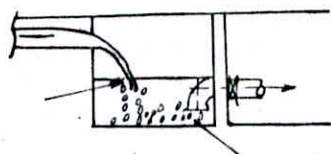
SCHEMAS

(a)



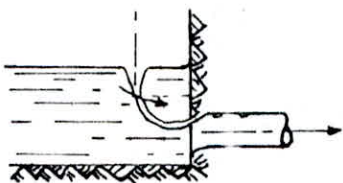
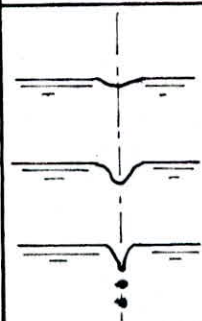
bruit due à l'air

(b)



Ecoulement aéré

(c)



Entrainement d'air par le vortex

FIGURES: 8

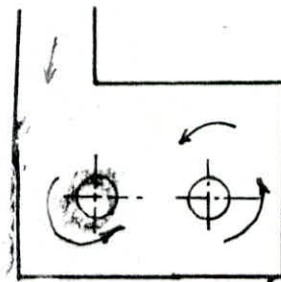
le changement de la charge, avec le temps, pourra causer, des vibrations, et des bruits, au niveau de la pompe. cet effet sera néfaste, quand la pompe, est très proche, de la section d'aspiration verticale.

8. Effet du fonctionnement des pompes

a) deux pompes sont disposées, l'une à côté de l'autre comme le montre la figure suivante.

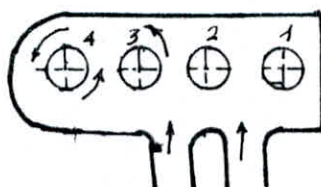
Si chaque pompe fonctionne, séparément, aucun phénomène ne se produit.

mais lorsque, les deux, fonctionnent en même temps, les vitesses deviennent plus grande, il se produit des vortex, tel que les pompes deviennent bruyantes.



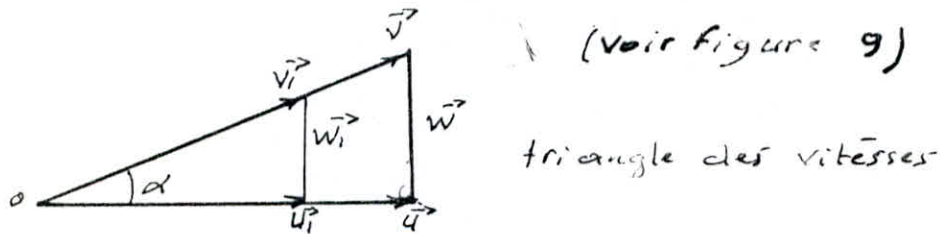
b) lors du fonctionnement de la pompe N°4, en même temps que les autres pompes (voir fig ci-dessous).

l'importance, du moment cinétique, à l'alimentation des pompes devenait, tel que le fonctionnement, serait inacceptable.



I.6.2. Influence de la non uniformité du champ des vitesses à l'entrée de la roue

La roue tourne à une vitesse angulaire ω_0 . La particule fluide située sur une circonference, de rayon R , aura une vitesse $\vec{w}R$ si une vitesse de prérotation $\vec{\epsilon}$ est appliquée, à cette particule la vitesse donnée par la roue, à cette particule, sera donc égale à $U = \omega R - \epsilon$; \vec{U} étant la vitesse relative de la roue par rapport à la particule. Si l'angle α est l'angle de l'hélice, ce vecteur \vec{U} créera un vecteur \vec{w}_i , dont dépend directement, la hauteur de refoulement. Si la vitesse de prérotation augmente, R étant constant, \vec{U} diminue et devient \vec{U}_i , qui engendre à son tour \vec{w}_i .



(voir figure 9)

Figure 9. Schéma de fonctionnement d'une pompe avec prérotation

Appliquons cette théorie au fonctionnement de la pompe. La pompe normale sans prérotation est caractérisée par sa "caractéristique débitante" rapport (ϕ, H) et une vitesse donnée (voir figure 10), la canalisation de refoulement étant elle aussi considérée par sa "caractéristique résistante". Si la vitesse de prérotation est nulle, cela correspond à ω_0 et la pompe fonctionnera

au débit Q_0 , pour une vitesse de prérotation la vitesse relative devient \vec{U}_1 engendrant le vecteur \vec{W}_1 correspondant au débit Q_1 . Il en résulte que, tout en fonctionnant à vitesse constante, le débit de la pompe varie en fonction de la vitesse de prérotation; si celle-ci est conditionnée par le débit d'arrivée, la hauteur de refoulement diminue lorsque la vitesse de prérotation augmente, comme la hauteur de refoulement minimale est une donnée constante, il y a donc une vitesse de prérotation, donc le débit à admettre à la pompe à ne pas dépasser.

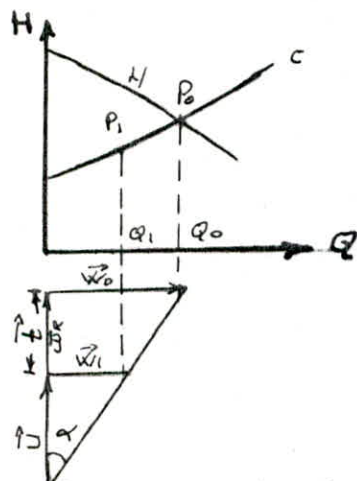


Figure 10. représentation vectorielle du système de prérotation

donc si \vec{U}_1 \vec{U}_2 n'est pas négligeable dans l'équation d'Euler donnant la hauteur théorique engendrée par la pompe

$$H_{th} = \frac{U_2 C_{au.} - U_1 C_{ur.}}{g}$$

où U_1, U_2 vitesses périphériques à l'entrée et la sortie de la roue respectivement.
 C_{au}, C_{ur} ; composantes tangentielles à l'entrée et la sortie de la roue respectivement.

ce qui entraîne une diminution de H_{th}

si la hauteur théorique de la pompe H_{th} diminue, le rendement global diminue aussi
 notons que les pompes à hélice sont plus sensibles à la prérotation.

I.63. Influence des pertes de charge dues aux mouvements tourbillonnaires sur la caractéristique de la pompe.

les pertes de charge dans une pompe se composent en deux parties
1^o) pertes de charge dues aux frottements et en particulier aux tourbillons qui naissent, à l'intérieur d'une pompe centrifuge, ces pertes de charge sont proportionnelles au carré du débit.

$$\Delta H_f = K_1 \cdot Q^2 \quad (\text{en général, régime turbulent rugueux à l'intérieur d'une pompe})$$

K_1 constante, dépendant du rendement hydraulique et des dimensions, de la pompe.

2^o) pertes de charge dues aux chocs à l'entrée du liquide dans le rotor.

Si la vitesse relative du liquide à l'entrée des canaux ménagés entre les aubes w_r , est tangente à ces dernières, le liquide entre dans le rotor, régulièrement, sans chocs et sans tourbillons. Dans ce cas les pertes de charge dues aux chocs sont nulles.

Ceci n'est possible que pour un débit nominal Q_0 , et une vitesse radiale d'entrée correspondante (V_{ir})₀. Au cas où le débit réel Q se différencie du débit nominal Q_0 , de même que la vitesse radiale d'entrée V_{ir} , la vitesse relative w forme avec la tangente à l'aube un angle δ , et le courant liquide rencontre l'aube sous un angle, d'incidence qui peut être positif ou négatif.

Dans ce cas, le courant heurte l'aube d'un côté, tandis qu'il se décolle de l'autre côté, entraînant des tourbillons.

Ainsi il se produit des pertes de charge dues aux chocs.

Les pertes de charge dues aux chocs

à l'entrée du liquide dans le rotor

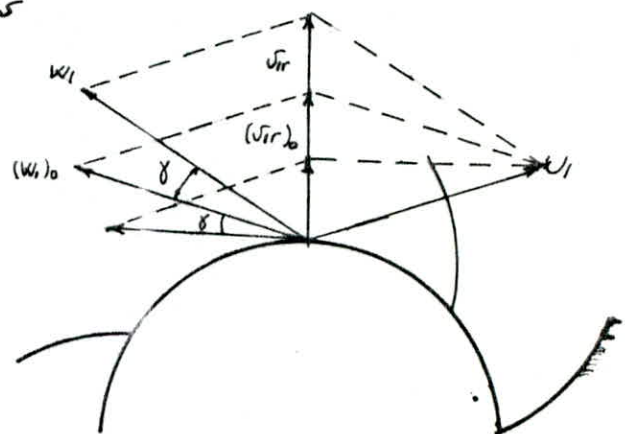
Sont proportionnelles au carré de la

différence entre le débit réel et le

débit nominal, pour lequel les pertes

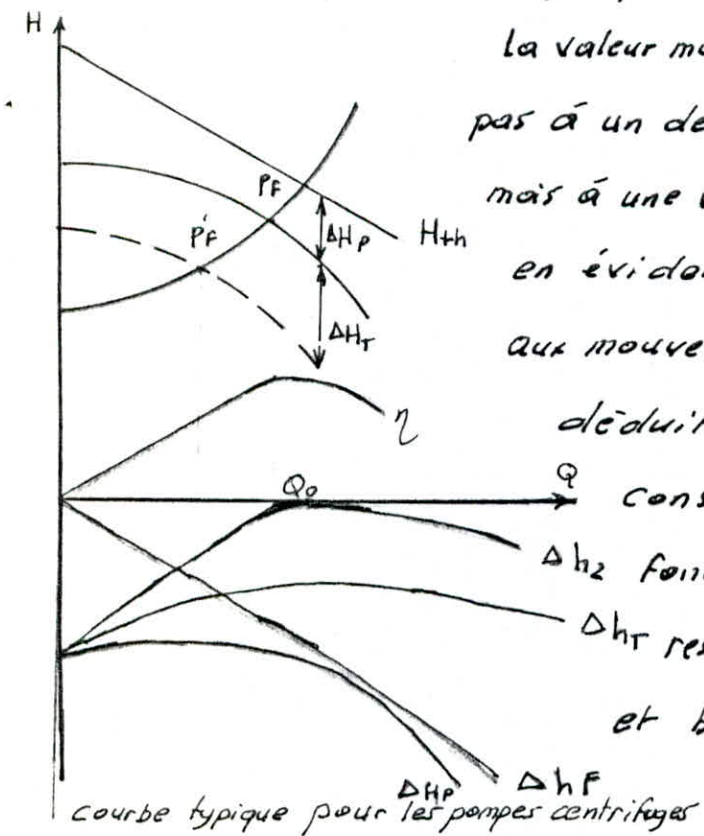
de charge dues aux chocs sont nulles

c'est à dire $\Delta h_2 = K_2 (Q - Q_0)^2$



La perte de charge totale est égale à la somme des deux genres de pertes de charge, c'est à dire $\Delta H_p = \Delta h_f + \Delta h_2$.

Dans un système de coordonnées $H = f(Q)$ et pour $n = \text{cte}$ tragons la caractéristique de la pompe.



La valeur maximum de la hauteur H_p , ne correspond pas à un débit nul, ou bien à un débit $Q=Q_0$ mais à une valeur intermédiaire. En mettant en évidence les pertes de charge, dues aux mouvements tourbillonnaires, il s'en déduit la courbe en pointillé par conséquent changement du point de fonctionnement de PE à PF, ce qui résulte mauvais fonctionnement et baisse du rendement.

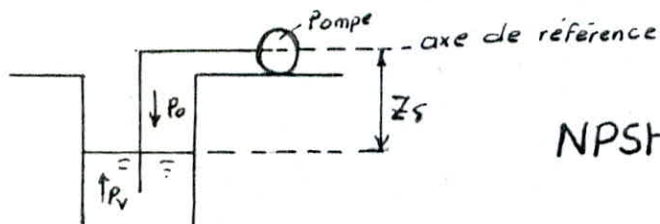
I.6.4 Influence de la non uniformité du champs de vitesses, dans la conduite d'aspiration, sur la charge nette à l'aspiration (NPSH).

Pour qu'une pompe, fonctionne, dans des conditions normales ou éviter, tous phénomènes de cavitation, il faut que la charge nette à l'aspiration absolue disponible (NPSH_d) soit strictement supérieur, à la charge nette absolue à l'aspiration requise (NPSH_r) c'est à dire $NPSH_d > NPSH_r$.

Le NPSH_d doit être calculé par l'utilisateur.

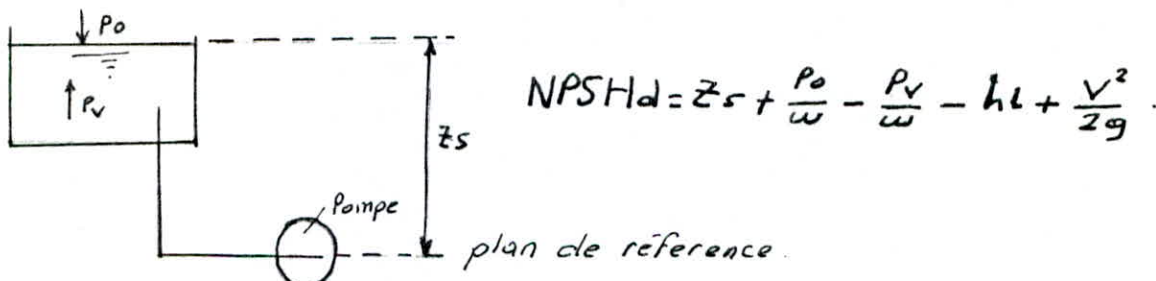
Il se calcule de deux manières, suivant le type d'aspiration (en dépression ou en charge.).

a) aspiration en dépression.



$$NPSH_d = -z_s + \frac{P_0}{\omega} - \frac{P_v}{\omega} - h_L + \frac{V^2}{2g}$$

b) Cas d'une aspiration en charge



$$NPSH_d = z_s + \frac{P_0}{\omega} - \frac{P_v}{\omega} - h_L + \frac{V^2}{2g}$$

Où z_s est la côte entre l'axe de la pompe et le niveau de la surface libre.

P_0 : pression atmosphérique

\bar{w} : poids spécifique du fluide (eau)

P_v : pression de vapeur du fluide

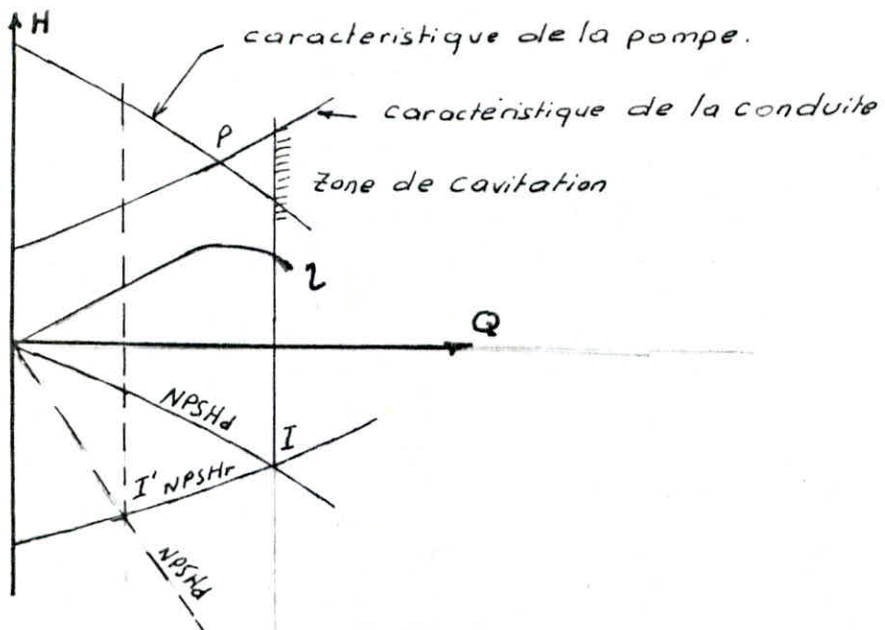
v : vitesse moyenne , dans la conduite d'aspiration.

h_t : pertes de charges dans la conduite d'aspiration .

le NPSH_r est une caractéristique de la pompe , donnée par le constructeur , il est généralement déterminé sur des modèles réduits .

la non uniformité du champs de vitesse , dans la conduite d'aspiration, engendrera , une diminution du NPSH_d, ce qui entraînera un NPSH_d inférieur au NPSH_r (grande perte de charge). par conséquent augmentation de la zone de cavitation (la condition précédente ne sera pas vérifiée).

la figure suivante, nous permet de situer la zone de cavitation qui est fonction de la variation du NPSH_d, c'est à dire lorsque le NPSH_d est supérieur, au NPSH_r, la zone de cavitation se situe à droite, de la verticale passant par (I) et le point de fonctionnement (P) (zone du fonctionnement optimale de la pompe). est hors de cette zone , mais lorsque le NPSH_d est diminué (voir la courbe en pointillée) , la zone de cavitation augmentera , de I à I' , ce qui entraîne, le point de fonctionnement (P) (ou région du fonctionnement optimale de la pompe), se situera dans la zone de cavitation.



la recherche de TULLIS RACE [33] a montré que les grandes unités caviteront plus vite, que dans les modèles, dues aux effets d'échelles.

I.65 EFFETS de la cavitation Sur l'installation.

Le terme de cavitation caractérise des conditions où l'intérieur de la pompe. où, à cause d'une chute de pression locale, des cavités s'ècrasent dès que les bulles de vapeur atteignent des régions à pression plus élevée dans leurs trajet à travers la pompe. La cavitation se manifeste par plusieurs signes, chacun deux affectant la caractéristique de fonctionnement de la pompe, et pouvant endommager les éléments de la pompe dans les cas extrêmes.

a) Bruit et vibrations: la cause est due, à l'èrasement soudain de bulles de vapeur, dès qu'elles atteignent les zones

à haute pression de la pompe; plus la pompe est grosse, plus le bruit et les vibrations sont intenses.

le bruit et les vibrations associés se trouvent dans toutes les pompes à des degrés divers quand elles travaillent très loin du fonctionnement optimum, à cause d'un mauvais angle d'attaque à l'entrée de la roue.

b) Chute de la courbe hauteur-débit et de la courbe de rendement une telle chute apparaît à des degrés divers selon les vitesses

Spécifiques $n_s = \frac{N \cdot Q^{1/2}}{H^{3/4}}$

dans le cas des pompes de faibles vitesses spécifiques (jusqu'à 30), la courbe hauteur-débit, les courbes de rendement et de puissance tombent brusquement lors de la cavitation. Pour les pompes de vitesse spécifique variant entre $30 < n_s \leq 100$, cependant, la courbe hauteur-débit, et la courbe de rendement commencent à tomber graduellement tout le long de la zone utile avant d'atteindre le point de décrochement complet. pour les pompes à très haute vitesses spécifiques (au dessus de 120), la chute de la caractéristique de la pompe, est presque négligeable, c'est à dire un affaissement progressif des courbes de rendement et hauteur-débit à travers toute la zone utile.

c) Erosion des aubes et rupture par fatigue de corrosion des métaux: Le fonctionnement d'une pompe dans des conditions de cavitation

pendant un temps suffisant induit à l'apparition de l'érosion des aubes de la roue, la quantité de métal perdue dépend de la matière de la roue et du degré de cavitation.

I.6.6. Influence de l'entrainement d'air par le vortex Sur l'installation.

L'entrainement d'air par le vortex conduit au désamorçage de la pompe, et peut causer de sérieux problèmes au niveau de l'installation. Les grandes quantités d'air traversant la pompe, entraînent des vibrations, mauvais fonctionnement, et probablement de sévères dégâts dans un temps bien court,

Selon PROSSER [25]. si 3% d'air sont entraînés dans une pompe centrifuge, le rendement chutera de 15%. les pompes axiales, sont plus sensibles à l'entrainement d'air que les pompes centrifuges.

Conclusion :

la conception d'une chambre d'aspiration, varie, selon les conditions d'exploitations. Une mauvaise conception de la chambre d'aspiration, favorise considérablement la formation des mouvements tourbillonnaires, accompagnés le plus souvent d'une naissance de vortex, dans le fluide en écoulement. Ceci est due aux paramètres hydrauliques et géométriques de la chambre proprement dite.

Il y a une étroite liaison entre les phénomènes tourbillonnaires observés dans la chambre d'aspiration, et les phénomènes qui prennent naissance dans la pompe, tel que la cavitation engendrant plusieurs effets (bruit, vibrations, chute de rendement etc..).

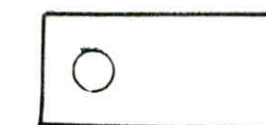
Toute fois pour éviter ces effets néfastes sur l'installation une étude expérimentale sur modèle réduit est d'une importance majeure.

*ETUDES
EXPERIMENTALES*

II ETUDES EXPERIMENTALES

II.1 Configurations expérimentales des chambres.

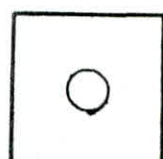
Il existe plusieurs configurations expérimentales, mais les plus utilisées sont de formes carré et rectangulaire.



a) chambre rectangulaire



b) chambre carrée



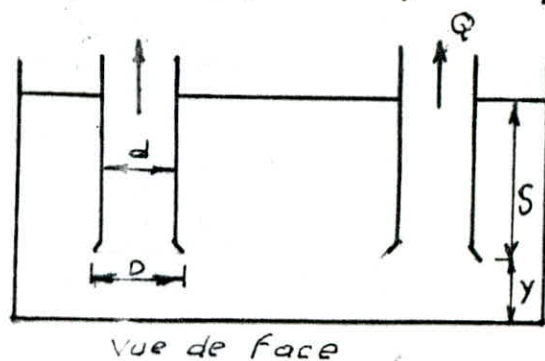
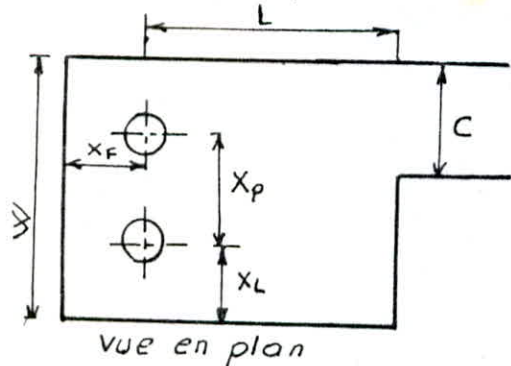
c) chambre carrée

Le tableau 1 représente la liste systématique des tests effectués respectivement sur les différentes géométries d'une chambre indiquées ci précédemment.

II.2 Conditions de formation

La formation de vortex dépend de nombreux paramètres, notamment des conditions hydrauliques (hauteur d'eau, débit) et des formes géométriques de l'installation.

Schéma regroupant tous les paramètres géométriques et hydrauliques



avec W : la largeur de la chambre.

L : longueur de la chambre.

C : largeur d'entrée

TABLEAU 1

geometrie de la chambre	AUTEUR	prise ou pompe	Dimension de la prise		Largeur W	Vitesse d'aspiration		Debit CP litres/seconde
			d mm	D mm		Vd m/s	V m/s	
Prise verticale Chambre rectangulaire (Voir Figure a)	DICMAS (12)	conduite d'aspiration prototype de la pompe	102	127 superieur à 1400	superieur à 5D 2D à 5D	superieur à 1,83 super à 1,52	super à 25,8 superior à 2258	
	IVERSEN (19)	Condui d'asp prototyped'un pompe et écoulement axial	102	171 464	2D à 5D	super à 1,26 0,97	super à 26,4 164	
	MARKLAND et pope (22)	conduite d'aspiration	66 66	185 119	environ 3D 3D à 5D	super à 3,7		superieur à 12,2
	Raghunathan et KAR (28)	Conduite d'aspirati	37,5	75	2D	super à 2,5		Superieur à 2,8
prise verticale chambre carrée avec une largeur d'entrée (Voir Fig b)	Berge (4)	Cond d'asp (sans tulipe)	50	50	6D	superieur à 1,83		0,5 à 3,6
	Denny (10)	Conduite d'aspiration	superieur à 162	superieur à 2,4m	super à 6,1			superieur à environ 5,7
	Swainston (33)	cond-d'as	19	?	254 mm	super à 5,5		superieur à 1,6
	Wonsak (34)	conduite d'aspiration	42,4	70	10 à 2,5D	superior à 1,2		superieur à 1,7
prise verticale chambre carrée (voir Fig C)	Painter (23)	Conduite d'aspiratio (sans tulipe)	51	51	20D	superieur à 4,27		superieur à 8,5

Tab 1 : LISTE SYSTEMATIQUE DES TESTS EXECUTÉS SUR DIFFERENTES FORMES GÉOMÉTRIQUES

x_F : distance du tuyau à la paroi verticale opposée à la face d'entrée

x_L : distance du tuyau à la paroi verticale

y : distance de la tulipe au radier.

x_p : distance entre les pompes

H : hauteur d'eau dans la chambre

s : submersion

D : diamètre de la tulipe

d : diamètre de la conduite d'aspiration

Q : débit de pompage.

§.2.1 Importants paramètres

a) Hydrauliques:

Le débit Q , et la submersion s

On définit la submersion, par profondeur d'immersion ou la distance entre la tulipe, et la surface libre de l'eau.

La submersion joue, un rôle important dans le dimensionnement d'une chambre d'aspiration. Elle est choisie en tenant soigneusement compte des limites de cavitation.

Un autre élément du choix, d'une profondeur d'immersion minimum résulte des précautions à prendre contre la formation du vortex dans le puisard d'aspiration, ce qui pourrait provoquer un entraînement d'air dans l'aspiration de la pompe. L'augmentation de s est aussi un choix, car augmenter la submersion, revient à elever les coûts de génie civil et augmenter le volume dans la chambre, par conséquent, augmentation

de l'intensité des mouvements tourbillonnaires, et des pertes de charge dans la conduite d'aspiration, ce qui diminue la charge nette absolue à l'aspiration.

b) géométriques

$L; D; x_L; x_F; x_P; y; w$

II.2.2 Résultats des expériences de plusieurs auteurs

Sur la variation des formes géométriques

En l'absence, d'une part, d'une théorie exacte de la formation des vortex, d'autre part, de la connaissance des conditions de similitude entre modèle et prototype, quelques expérimentales ont été entreprises par plusieurs auteurs dans le but de rechercher l'influence des formes géométriques de la chambre sur les conditions d'apparition du vortex. Ces études étaient faites sur des chambres rectangulaires portant sur le vortex créé par aspiration verticale, et qui sont susceptibles d'une éventuelle généralisation.

La forme exacte d'une chambre et de même que les notations utilisées sont précisées par la Figure 11a.

Les comparaisons ont été effectuées pour des débits constants

a) Variation de la distance tulipe-radier (y)

en faisant varier la distance y , toutes les autres variables restant inchangées, IVERSEN [19] (résultats Figure 11b) et DENNY [10] ont trouvés qu'une augmentation importante de la distance y (le rapport Y/H_c pouvant atteindre 0,6) entraînait une diminution de la submersion critique S_c et une augmentation de la hauteur critique H_c .

MARKLAND et pope [22] indiquent que si y croît, S_c diminue alors que H_c resterait sensiblement constant.

les résultats obtenus (Figure 11c) par BERGE [4] ont permis de montrer, pour des valeurs Y/H_c assez faibles ($0,03 < Y/H_c < 0,19$) une diminution simultanée de la hauteur critique H_c et de la submersion critique S_c .

en fait il semble, suivant les valeurs de Y/H_c réalisées dans les différentes expérimentations, que H_c passe par un minimum lorsque Y augmente.

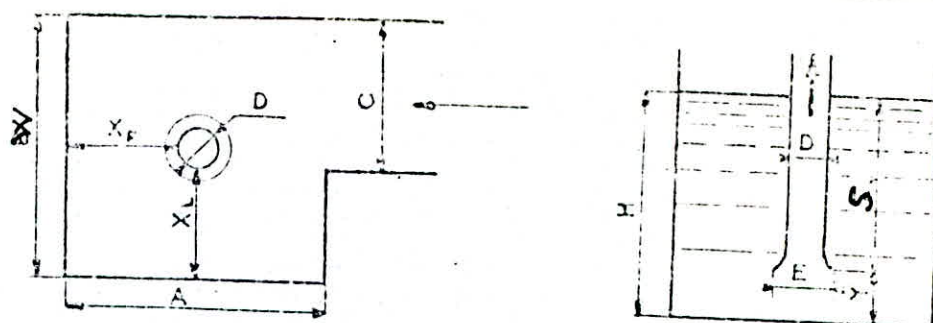
pour ce minimum, le rapport Y/H_c serait compris entre 0,2 et 0,3 environ, valeurs pour lesquelles les risques de formation de vortex seraient plus faibles. Cependant, pour obtenir les conditions optimales de rendement de la pompe IVERSON [19], Stepanoff [32] ou Richardson [33] recommandent dans les ouvrages hydrauliques d'adopter une distance tulipe-Radier égale à la moitié du diamètre de la tulipe $\frac{D}{2}$.

b) Variation de la distance aux parois W

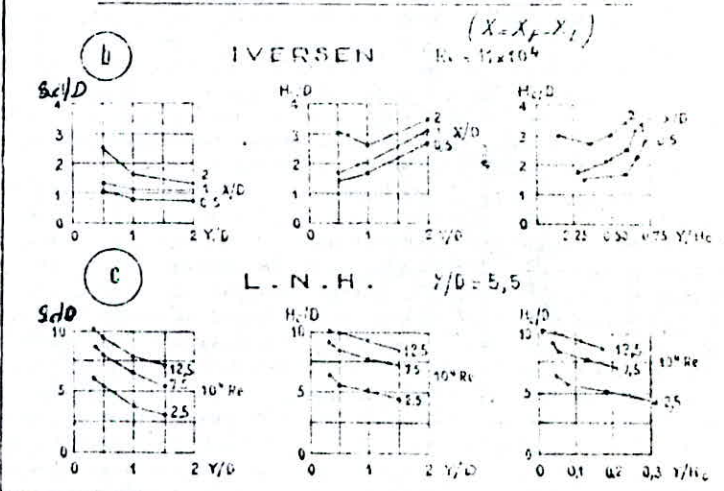
les études ont été réalisées avec des parois latérales disposées symétriquement de part et d'autre de la pompe les résultats de IVERSEN (fig 11b) et ceux obtenus aux centre de châssis montrent que la submersion critique diminue si l'écartement X_L diminue. cette variation est d'autant moins importante que la valeur de Y est plus grande

c) Variation de X_F

les résultats de MARKLAND et pope confirment ceux obtenus



Influence de la distance "tulipe radier"



d) Courbe iso-sousmersion critique

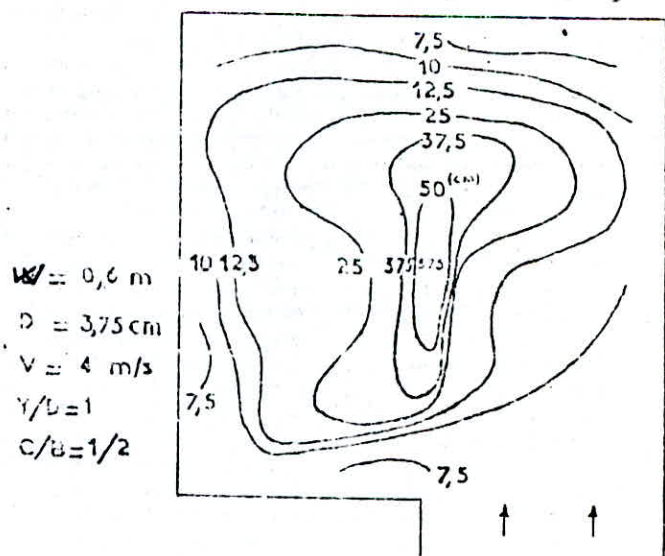


Figure - 11

au centre de chatou.

Une diminution de X_F (X_L étant constant) entraîne également la diminution δc .

Pour diminuer les risques de formation de vortex, il y a intérêt à diminuer les zones « d'eau mortes » notamment celles qui se trouvent derrière la pompe. Toutefois, pour ne pas affecter les caractéristiques de la pompe.

IVERSEN recommande de ne pas rapprocher les parois verticales à une distance inférieure à $\frac{D}{2}$ environ du tuyau. Signalons encore que YOUNG [38] a proposé sur ce sujet une formule empirique assez compliquée.

DENNY a montré l'importance de la variation de la submersion critique, lorsque le tuyau d'aspiration était déplacé dans une chambre de forme géométrique invariable, le débit d'aspiration restant constant, la figure 110 est un exemple de carte iso-submersion critique. Elle indique que le vortex se forme le plus facilement lorsque la pompe est placée dans la partie centrale des chambres.

d) Variation du diamètre de la tulipe.

Les résultats de MARKLAND et pope confirment une fois encore ceux obtenus au centre de chatou. quand le diamètre de la tulipe augmente, la submersion critique diminue. Ce sens de variation était prévisible, car toute

augmentation du diamètre de la tulipe se traduit par une augmentation de la longueur du vortex.

La forme de la tulipe est également un paramètre qui modifie les conditions d'opposition du vortex. Plusieurs schémas reproduits par les figures 12-a et b

extraits des travaux de DENNY. Dans le cas schématisés par la figure 12-b on constate que l'orientation de l'orifice d'entrée vers l'écoulement diminue les possibilités de formations de vortex.

e) variation de la largeur d'entrée C.

les essais réalisés par DENNY et young ont montré toute que diminution de la largeur d'entrée augmentait la submergence critique nécessaire pour empêcher la formation des vortex.

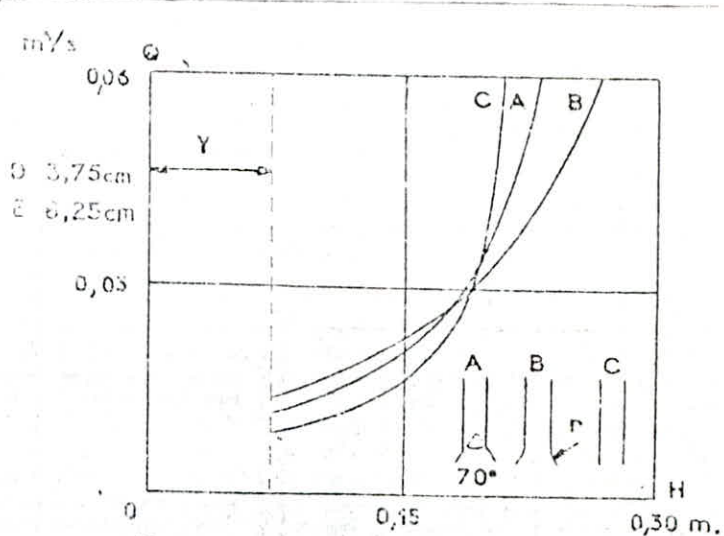


Figure 12-a) Influence de la forme de la tulipe

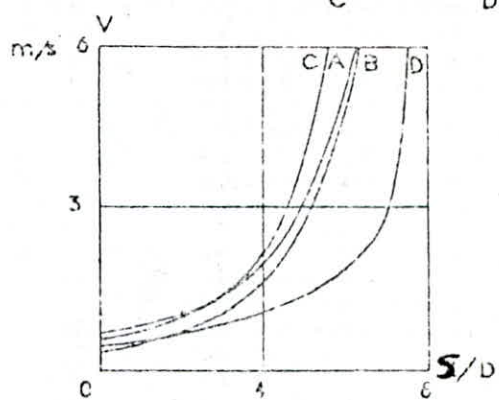
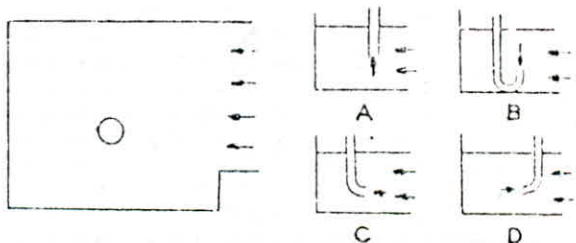
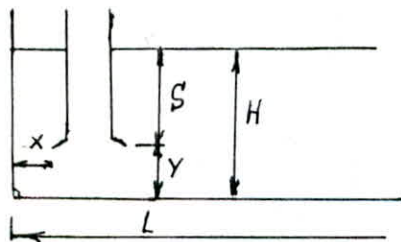
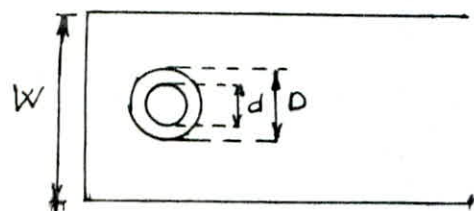


Figure 12-b f) Influence du sens d'aspiration

f) Variation du diamètre de la conduite d.

les essais réalisés au L.N.H ont indiqué que la submersion critique diminue si le diamètre de la conduite d'aspiration est augmenté, c'est à dire en diminuant la vitesse dans le tuyau.

d'autres expériences ont été faites par plusieurs auteurs sur la variation des paramètres, sur une chambre rectangulaire, à aspiration verticale, comme elle est montrée par la figure suivante:

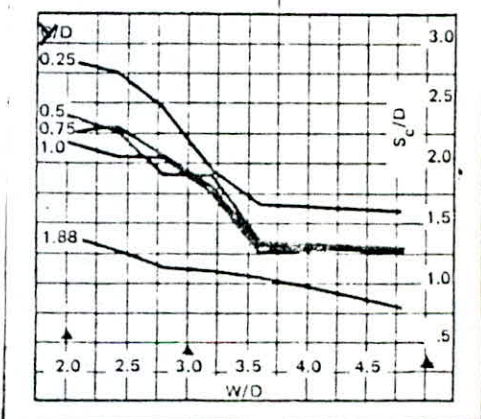
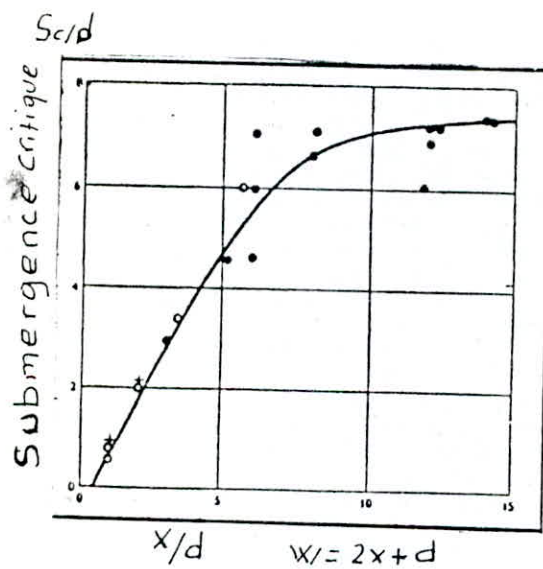
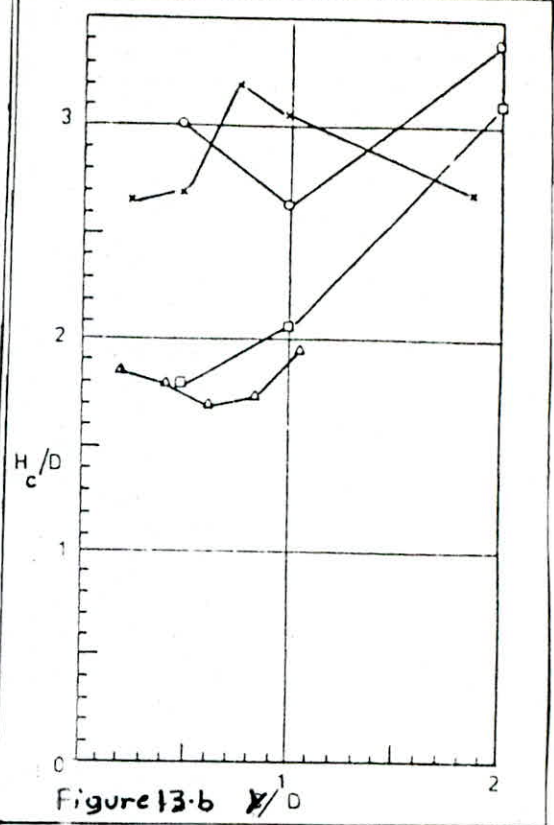
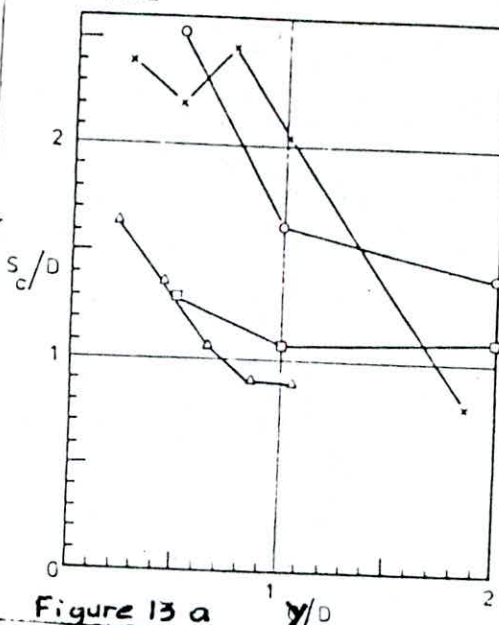


Variation de y

les figures 13 à 16 montrent les résultats de DICMAS [VERSEN(19) MARKLAND et pope [22]

la submersion critique $\frac{S}{D}$ diminue si la distance au radier Y/D augmente, et peut être accompagné par une augmentation de la hauteur totale. Ceci a été confirmé par plusieurs auteurs. dont Berge[A]DENNY; et PAINTER [23]

		D_{mm}	V_{Dms-1}	W	X
[12]	DICMAS	X	127	187	48
[14]	IVERSEN	□	162	171	30
"	IVERSEN	O	162	171	50
[22]	MARKLAND	△	119	104	51
	POPE				20



$$\frac{X}{D} = 0,2 \quad VD = 1,87 \text{ m/s}$$

$$\Delta \text{ IVERSEN } \frac{X}{D} = 0; VD = 1,26 \text{ m/s}$$

et $Y/D = 2,0$

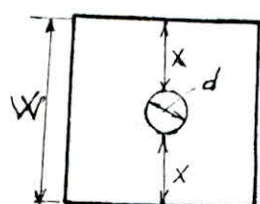


Figure 13-d.

AMPHLET [1] avec une prise horizontale où trouvé que si y augmente, le coefficient de débit défini par $m = \frac{Q}{A \cdot (2g \cdot S)^{1/2}}$ augmente aussi pour une valeur de S_c donnée.

Variation de W

La figure 13.c montre que la submersion critique $S_c/10$ diminue avec l'augmentation de W , jusqu'à une valeur de $W/10$ approximativement égale à 3,6, car à partir de cette valeur la courbe devient une droite horizontale.

La figure 13.d montre les résultats de l'expérience faite par DENNY dans une chambre carrée.

D'après DENNY [10] S_c augmente avec l'augmentation de $W \cdot x$ jusqu'à ce que la valeur de x est environ supérieur à huit fois le (t) diamètre de la conduite (8d.)

Variation de la longueur de la chambre L

Les expériences de KONSAK [3] ont montré que les grandes longueurs améliorent la réduction des tourbillons.

Comme le montre la figure 14. La chambre à longueur 8D, est meilleur que la chambre à 2D, car d'après les deux courbes tracées en fonction de la vitesse du vortomètre, et de la vitesse dans la conduite d'aspiration, on constate que les vitesses données par le vortomètre dans la courbe N°2 correspondant à la chambre à longueur 8D, sont très faibles par rapport à celles dans la courbe N°1.

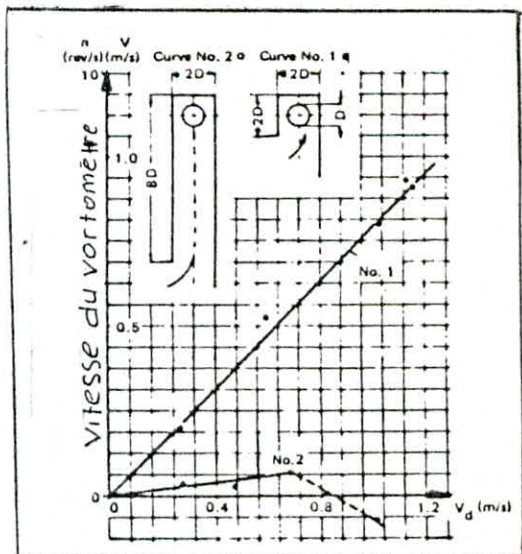


Figure 14

II.3 Définition d'un critère d'étude.

Introduction

La définition d'un critère d'étude est basée essentiellement sur la connaissance des différents types de vortex aériens, qui sont de loin les plus rencontrés, dans une chambre d'aspiration. Il existe des moyens de contrôle de vortex, les plus utilisés, le vortomètre sert à mesurer l'intensité de la prérotation due aux tourbillons, cet instrument présente quelques défauts d'ordre pratique. Le manomètre est un moyen, pour la mesure des pertes de charges occasionnées par les mouvements tourbillonnaires en général et les vortex en particulier. Jusqu'à présent il n'y a pas de moyens efficaces permettant de déterminer la fréquence et la durée moyenne de formation de vortex aérien, cela est dû à l'instabilité spatiale et temporelle des vortex.

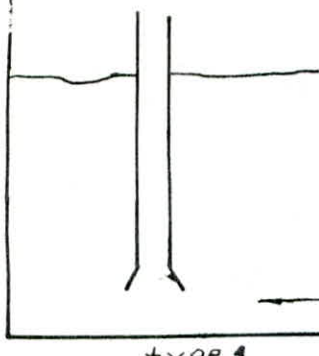
II.3.1. Seuil de formation du Vortex.

Pendant le cycle de formation de formation du vortex plusieurs types de vortex et autres mouvements tourbillonnaires peuvent apparaître dans la chambre d'aspiration.

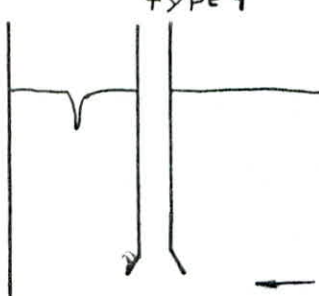
Il convient de citer cinq principaux types de vortex.

Type 1 :

Pour de grandes submersions, et à des vitesses faibles

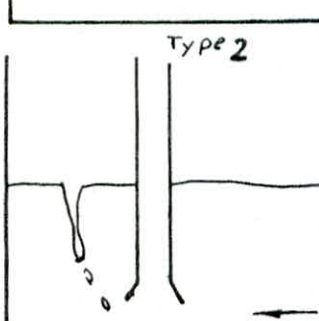


On remarque un léger mouvement de la surface libre du liquide, le seul signe visible du Vortex, est le rabattement de la surface libre du liquide due à une dépression.



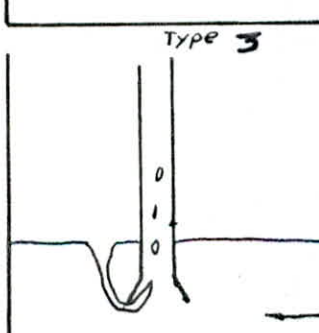
Type 2

Autant que la dépression croît, une queue bien distincte apparaît, et que le noyau d'eau situé en bas de la queue peut ou ne peut pas effectuer une rotation. Si le vortex est suffisamment fort, il peut digérer même des débris de surface trop petit, à ce stade.



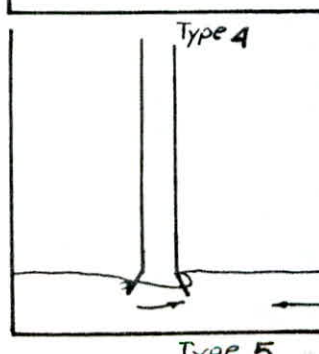
Type 3

A cette étape, on distingue des bulles d'air qui se détachent du tronçon de la queue et peuvent être entraînées dans la conduite d'aspiration, d'où le début d'entrainement d'air. Cette période de développement est d'habitude de transition.



Type 4

où une hauteur de son développement le vortex forme un noyau plein d'air avec une queue s'étendant dans la conduite d'aspiration, produisant un entraînement d'air continu.



Type 5

TYPE 5

A de très faibles submersiones, il y a rotation de la masse d'eau autour, de la prise, et le vortex tend à se répandre tout autour de la conduite, se creusant, formant ainsi ce qu'on appelle "vortex concentrique" aspirant continuellement de l'air.

- On définit la submersion critique, par le degré de l'entraînement d'air, elle est notée par S_c .

Ainsi dans les études de DENNY [10] la submersion critique peut avoir lieu quand "après un temps raisonnable aux conditions de stabilité de la charge, et l'écoulement dans la chambre" quelques volumes d'air pénètrent dans la prise continuellement ou par intermittence, par l'intermédiaire du vortex de surface, cette étape correspond aux types 3 et 4 de la classification du vortex. DICKAS [12] définit cette submersion critique, en ce donnant deux submersions critiques, la première quand quelques bulles d'air étaient entraînées, à partir de la queue du vortex (type 3). La deuxième lorsque l'ouverture du vortex, atteint l'entrée du siphon en donnant des bruits perceptibles (type 4).

Les travaux de RAGHUNATHAN et KAR [28] concernés principalement les pertes dues aux tourbillons, dans la conduite d'aspiration, ils définissaient S_c comme étant le niveau auquel l'entraînement d'air commencé.

A noter que l'étape du type 2 peut être aussi dangereuse.

II.3.2 Contrôle du vortex ou des mouvements tourbillonnaires.

a) VORTOMÈTRE.

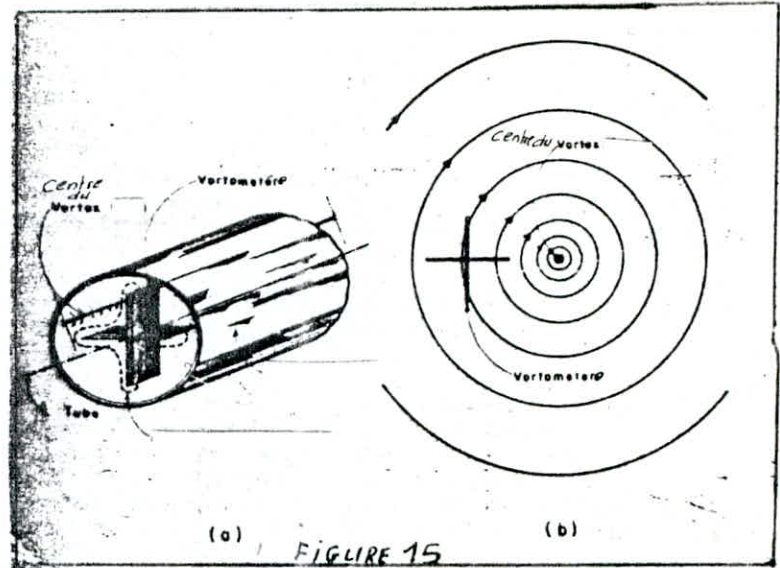
Le vortomètre est une hélice placée concentriquement dans la conduite d'aspiration, par conséquent, il peut mesurer uniquement les composantes des mouvements causés par le vortex, sans toutefois mesurer les composantes axiales de l'écoulement. De sévères critiques sont apportées à l'application du vortomètre.

La première critique à mentionner est que le vortex libre, tel que l'entraînement d'air par le vortex, dont le centre est déplacé en dehors du centre de la conduite, à travers lequel peuvent passer les lames du vortomètre, sans provoquer une rotation, (voir figure 15) pour le vortex qui cause la rotation du vortomètre, l'axe du vortex et celui du vortomètre peuvent parfois coïncider.

La deuxième critique qui survient, à cause du vortomètre, est sujet à des composantes axiales de la vitesse et des lames plates qui peuvent être aussi sujet à des forces de frottements qui produisent une auto-rotation, ces forces de frottements proviennent à partir, d'un léger mal alignement des lames ou des imperfections géométriques des lames, ou à partir de l'écoulement turbulent dans l'axe du vortomètre.

Les deux critiques rendent le vortomètre, extrêmement suspect, quand celui-ci ^{est employé} dans l'étude de l'écoulement tangentiel caractérisé par la présence de fortes composantes de vitesses axiales. Le vortomètre est aussi un appareil utile quand il est utilisé à défaire la

vorticité dans les couches limites, ou pour montrer un écoulement irrotationnel.



Selon WONSACK [34], pour mesurer la prérotation dans la conduite d'aspiration, une roue à 4 aubes, de construction légère, qui est ainsi montée comme vortomètre dans la conduite d'aspiration. Cet instrument peut facilement tourner, le nombre de tours du vortomètre, est un moyen de mesure de la prérotation, cependant il n'y a pas une relation simple entre ces rotations, et la composante moyenne tangentielle de l'écoulement. Cependant à partir du nombre de tours du vortomètre, une comparable composante tangentielle moyenne peut être calculée, si cette composante est supposée identique à la vitesse maximale du vortomètre, avec cette supposition la composante tangentielle des vitesses prend la forme suivante: $C_4 = \pi \cdot d \cdot n = U_2$ où

pour les tests il est important de trouver une relation utilisant la composante moyenne tangentielle et la composante méridienne de l'écoulement, dans la conduite d'aspiration, la valeur de l'intensité de la prérotation dans la conduite d'aspiration qui est une fonction de la vitesse méridienne de l'écoulement, et elle est une mesure pour l'influence de l'écoulement dans la chambre. Pour plus de tests sur les dispositions qui ont été étudiées, l'intensité de la prérotation $\alpha = \frac{C_U}{C_M}$, approximativement indépendante de l'écoulement.

Pour une chambre standard la figure 16-a montre la relation entre la vitesse de rotation du vortomètre (Rotomètre) et la composante méridienne de l'écoulement dans la conduite. La courbe n° 1 de la figure 16-a est employée pour, les dispositions de la conduite d'aspiration, dans une chambre standard tel qu'elle est montrée dans la figure, la conduite d'aspiration sur l'axe passant au milieu de la chambre à une distance de $\frac{D}{2}$ à partir du mur arrière et à une distance de $\frac{D}{2}$ à partir du fond de la chambre. Avec cette disposition l'intensité de la prérotation a été trouvée comme égale à $\alpha = 1,37$. L'intensité de la prérotation avec une pareille augmentation de la conduite d'aspiration dans une telle chambre pourra être réduite si un redresseur à nid d'abeilles est employé à l'entrée de la chambre d'aspiration dans ce cas $\alpha = 0,7$.

La figure 16.b montre les résultats des tests pour un arrangement dans lequel la conduite d'aspiration est à une distance $\frac{D}{2}$ à partir du mur arrière de la chambre standard. La conduite d'aspiration est placée excentriquement à la chambre. L'intensité de la prérotation diminue lorsque la conduite d'aspiration est à l'écart de la ligne centrale de la chambre d'aspiration.

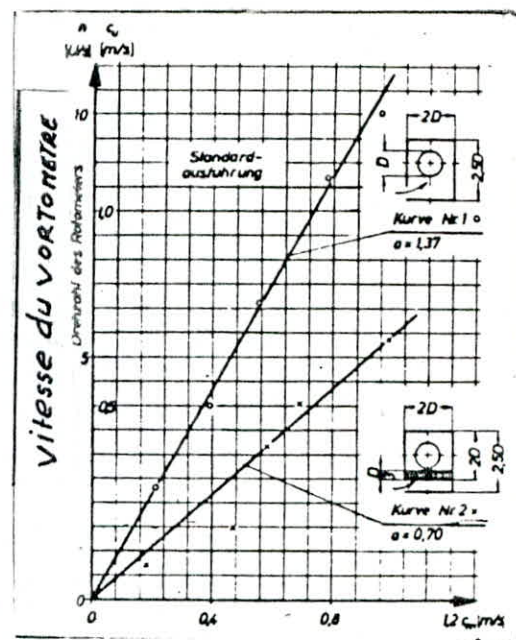


FIGURE 16.a

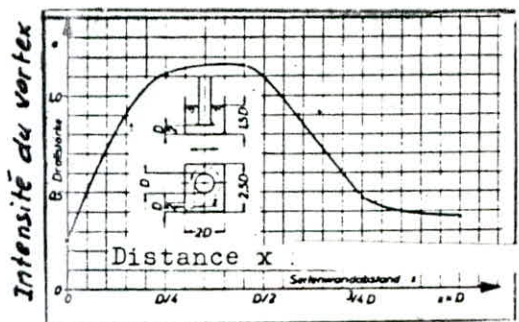


Figure 16.b

b) contrôle par la mesure des pertes de charge le long de la conduite d'aspiration. (manomètre). Les pompes en général sont affectées par les caractéristiques géométriques et hydrauliques de la chambre, à partir de laquelle l'eau est pompée, une condition très importantes lors du pompage est la submersion, pour laquelle dépend la formation du tourbillon dans la chambre qui est causé par les irrégularités de l'écoulement. Le tourbillon dans la

conduite d'aspiration conduit à de nombreux effets indésirables dans la pompe, parmi lesquels nous pouvons citer: vibrations, chute de rendement etc... .

plusieurs auteurs ont étudiés ces phénomènes parmi eux IVERSON [19] ; DENNY [10] ; MARKLAND et DOPE [22].

quelques informations sont disponibles quant à l'effet du vortex sur les pertes d'énergie à l'entrée de la pompe. L'échelle de ces effets n'est pas bien comprise jusqu'à présent.

Les expériences de RAGHUNATHAN et KAR [28] ont conduit pour une chambre libre et rectangulaire (voir figure 17) et pour un niveau d'eau donné dans la chambre et un débit à travers la conduite d'aspiration, la profondeur d'eau variait. Pour chaque profondeur d'eau la distribution de la pression axialement, le long de la conduite de prise était notée. Ces expériences ont été répétées pour plusieurs valeurs de débit et niveaux d'eau dans la chambre.

Ils ont observé que pour une profondeur d'eau et un débit donné, il y avait un niveau d'eau critique dans la chambre auquel se produit, le début d'entraînement d'air, ceci est montré par le commencement des fluctuations manométriques du fluide dans les manomètres connectés le long de la conduite d'aspiration où règne une pression, et la génération de bruits dans la conduite de prise.

Schemas de principe

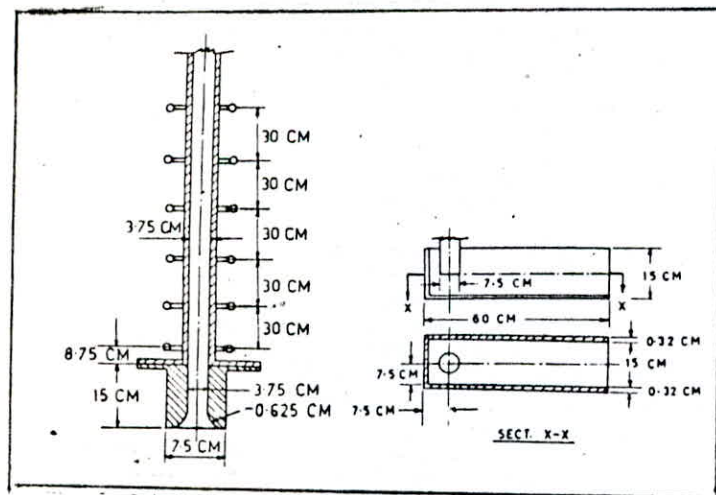
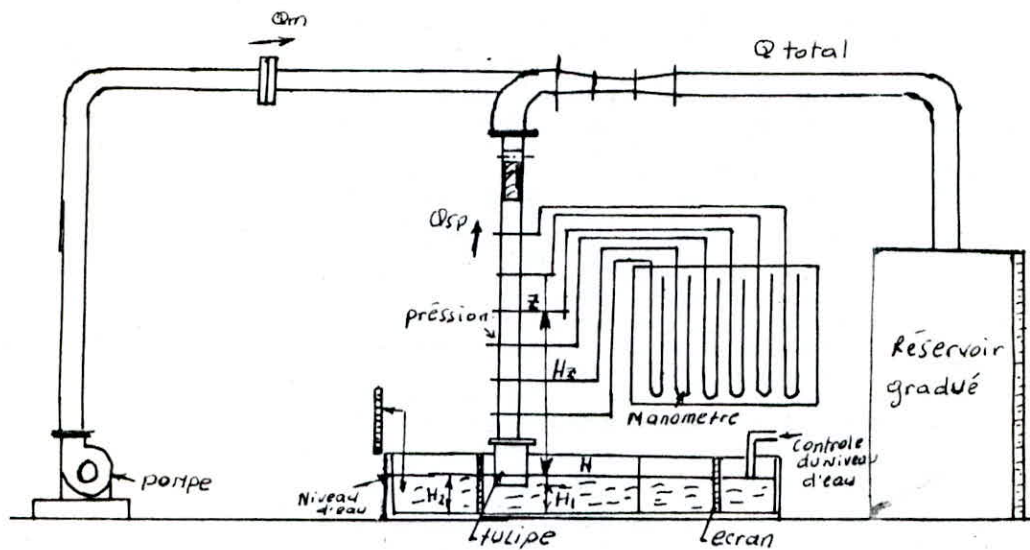


FIGURE-17-

ce niveau d'eau particulier était noté.

pour une diminution du niveau d'eau dans la chambre au dessous du niveau noté déjà, résulte de violents vibrations dans la prise, la submersion critique était notée pour chaque cas.

La perte de charge totale h , entre la surface libre de l'eau dans le puisard et section z (voir Fig 17) à l'entrée de la chambre est donnée par:

$$h = \frac{P_{at}}{\gamma} - \left[\frac{P_z}{\gamma} + \frac{V_z^2}{2g} + H_z \right] \quad (1)$$

où P_{at} - pression atmosphérique

P_z - pression considérée dans la section z

V_z - vitesse moyenne à une section z

H_z - hauteur de la section au dessus de la surface d'eau dans la chambre.

$\gamma = g \cdot g$. poids spécifique du fluide.

$$\text{oussion a } h = K \frac{V_z^2}{2g} \quad (2)$$

K - coefficient de perte de charge total

d'après l'équation (1) et (2)

$$K = \left[\frac{P_{at} - P_z}{\gamma} / \frac{V_z^2}{2g} \right] - \left[1 + H_z / \frac{V_z^2}{2g} \right] \quad (3)$$

K peut être exprimé aussi par :

$$K = K_f + K_s \quad (4)$$

où K_f : coefficient de frottement, perte due à la composante axiale de l'écoulement dans la conduite et la chambre

K_s : coefficient de frottement, perte due à la composante de

turbillons de l'écoulement dans la conduite d'aspiration et la chambre.

la composante axiale de l'écoulement, dans la conduite d'aspiration, est l'équivalent au développement de la couche limite, turbulente le long de la paroi de la conduite circulaire lisse. Soit un corps libre représenté par la figure suivante dans des conditions d'écoulement permanent.

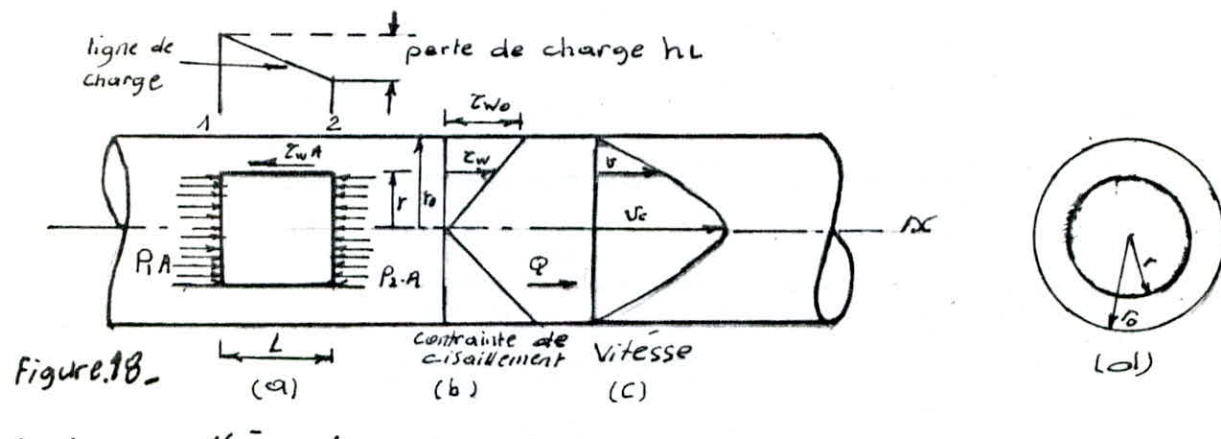


Figure.18-

Puisque l'écoulement est permanent, chaque particule se déplace vers la droite, sans accélération, ainsi la somme des forces agissantes dans la direction ne doit être nulle

$$\underbrace{P_1 (\pi r^2)}_A - \underbrace{P_2 (\pi r^2)}_B - \underbrace{\tau_w (2 \pi r L)}_B = 0 \quad (5)$$

avec A : résultante des forces de pressions

B : force de frottement qui s'exerce sur le périmètre de l'élément de longueur L.

$$\text{or } \tau_w = \frac{(P_1 - P_2)}{2 \cdot L} r$$

quand $r=0$ la contrainte de cisaillement $\tau_w = 0$ et quand $r=r_0$ la contrainte τ_{wo} à la paroi est maximum.

la variation est linéaire ainsi qu'en l'a représentée sur la

Figure 10.6. L'équation (5) est valable en écoulement laminaire et turbulent.

puisque $(P_1 - P_2)/\bar{w}$ représente la chute de la ligne de charge, ou la perte de charge h_L .

Multippliant l'équation (5) par \bar{w}/w , on obtient

$$\zeta_w = \frac{\bar{w} \cdot r}{2 \cdot L} \left(\frac{P_1 - P_2}{\bar{w}} \right) \text{ ou } \zeta_w = \frac{\bar{w} \cdot h_L}{2 \cdot L} \cdot r$$

L'expression de la contrainte de cisaillement à la paroi du tuyau sera : $\zeta_{wo} = \frac{\bar{w} \cdot h_L}{2 \cdot L} \cdot r$

$$\text{d'où } h_L = \frac{2 \cdot \zeta_{wo} \cdot L}{\bar{w} \cdot r_0} = \frac{4 \cdot \zeta_{wo} \cdot L}{\bar{w} \cdot d}$$

de même d'après la formule de Darcy - WEISBACH

$$h_L = \frac{K_f \cdot L \cdot V^2}{d \cdot 2g}$$

égalant les deux expressions de h_L

$$\frac{4 \cdot \zeta_{wo} \cdot L}{d \cdot w} = \frac{K_f \cdot L \cdot V^2}{d \cdot 2g} \quad \text{avec } \bar{w} = \rho \cdot g$$

$$\text{d'où } K_f = \frac{8 \cdot \zeta_{wo}}{\rho \cdot V^2}$$

K_f , le long de la conduite sera

$$K_f = \int_0^L \frac{8 \cdot \zeta_{wo}}{\rho \cdot V^2} d\left(\frac{x}{d}\right) \cdot (6)$$

avec. ζ_{wo} - Contrainte de cisaillement dans la conduite à une distance x à partir de l'entrée de la conduite

d . diamètre de la conduite

L . la longueur de la conduite.

k_{ω} peut être estimé par quelquesunes des méthodes existantes, pour calculer la turbulence de la couche limite à l'intérieur de la région lisse de la conduite.

K_5 peut être déterminé à partir des équations (3), (4) (6).
Ainsi $K_5 = K - K_f$ (7) ~

II.3.3. Fréquence et durée des Vortex aérés pour des conditions données.

La fréquence de formation, et la durée moyenne, ce sont deux grandeurs qui caractérisent les phénomènes de vortex. du fait de l'instabilité spatiale et temporelle du vortex. lieu et fréquence de formation, durée d'existence et d'aération, chemins parcouru sur la surface libre sont excessivement variables et aucune équation théorique ne peut traduire ces phénomènes.

Une étude expérimentale apparaît ainsi comme le seul moyen de pouvoir déterminer, dans chaque cas particulier les conditions réelles de similitude des vortex.

Sur cela BERGE[5] a fait une étude expérimentale dans une chambre, avec aspiration verticale ascendante. Ces expériences ont été faites, sur modèle et prototype les résultats sont montrés sur la figure 19.

Notons que cette méthode, seule possible dans le cas présent, reste peu précise, et il est difficile au cours du

ETALONNAGE D'UN MODELE DE VORTEX

Fréquence horaire et Durée moyenne de formation d'un vortex sur le modèle

RESULTATS EXPRIMES EN GRANDEUR NATURE

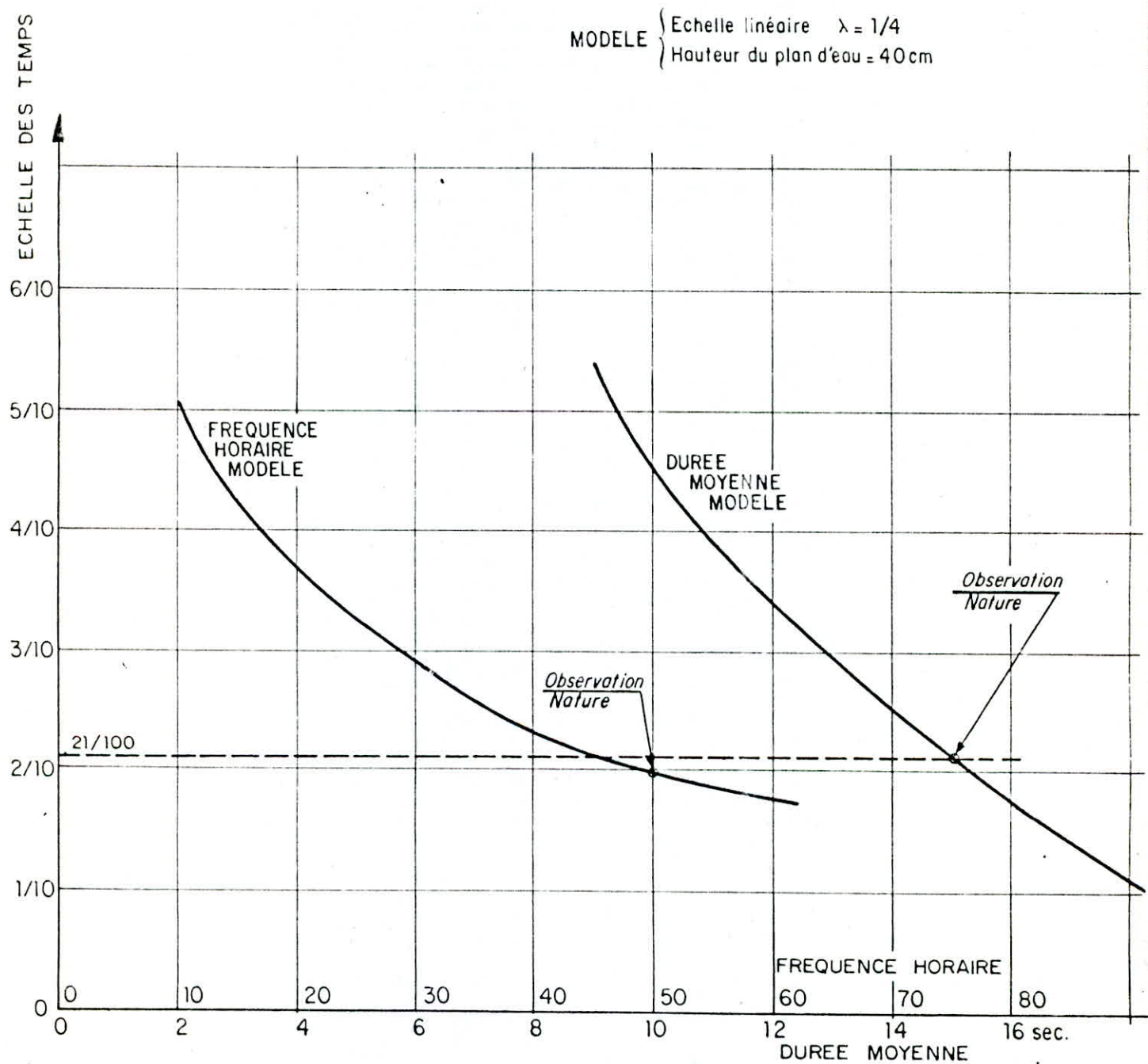


FIGURE - 19-

mouvement général de rotation, de l'eau, de déterminer sur un prototype le début réel de l'entraînement d'air, quand il ne possède pas de parois verticales vitrées.

La figure 19 montre deux valeurs pour le prototype et sur le modèle deux courbes, en fonction du débit.

Pour une échelle linéaire donnée, l'échelle des temps n'est fonction que du débit réalisé sur le modèle. De ce fait, les résultats précédents exprimés en grandeur "prototype" ont été traduits en fonction (~~et fonction~~) de l'échelle des temps.

Le report sur les courbes "modèles" des deux valeurs (moyennes des résultats) obtenues sur le prototype, met en évidence les deux valeurs de 0,20 et 0,21 de l'échelle des temps permettant d'obtenir des résultats homologues à ceux du prototype.

La concordance entre les deux résultats constitue une excellente présomption en faveur de l'exactitude de la valeur $\lambda_t = 0,20$ de l'échelle des temps.

Il y correspond la valeur $\lambda_v = \frac{\lambda}{\lambda_t} = 1,25$ de l'échelle des vitesses.

II.4 moyen de la détermination de la circulation: F (Méthode Optique)

les méthodes directes de relevé du profil de l'entonnoir (pointes limnémétriques, prises de pression...) ne pouvaient être retenues en raison des déplacements incessants du vortex sur la surface libre et des modifications que l'introduction de ces instruments même miniaturisés apportaient à l'écoulement. Pour ces raisons, seules des méthodes optiques pouvaient être envisagées.

Parmi les méthodes optiques, le moyen expérimental le plus évident et consistant à prendre des épreuves photographiques du profil de l'entonnoir du vortex devait être écarté, l'erreur étant trop importante dans le cas des faibles entonnoirs. Il en était de même de toute méthode de visualisation des lignes de courant par mise en suspension de petites particules avec enregistrement chronophotographique de leurs déplacements. Du fait que le plus souvent les trajectoires des particules ne sont pas confondues avec les lignes de courant.

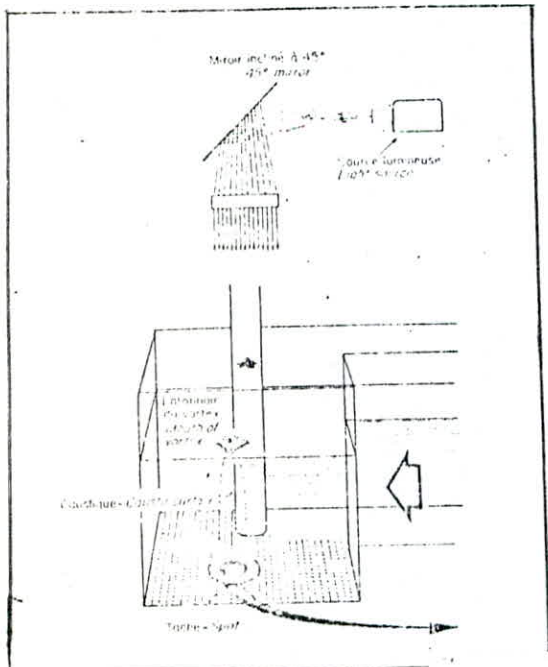
Les mesures seront par contre assez précises si elles utilisent les phénomènes optiques de déviations des rayons lumineux par la surface courbe de l'entonnoir du vortex il suffit alors comme le calcul en a été effectué par

Berge [6], de relier la déviation du rayon lumineux à la forme de la surface provoquant cette déviation. Deux méthodes peuvent être envisagées; la première utilisant les propriétés des rayons réfléchis, et la seconde les propriétés des rayons réfractés. Dans le premier cas la méthode consiste à étudier la déformation d'un réseau de points lumineux situés au dessus de la surface libre et dont on photographie l'image dans le plan d'eau. Dans le second cas, la méthode consiste à déterminer la forme de la surface caustique, résultant de la déviation des rayons lumineux issus d'une source au dessus de la surface libre au passage de la surface dioptrique de séparation air-eau de l'entonnoir du Vortex. La seconde méthode est plus précise et d'un dépouillement plus rapide que la première.

a) utilisation de la méthode des rayons réfractés.
Cette méthode a été imaginée au centre de châtau en 1960. Elle utilise le phénomène optique de formation d'une surface caustique lors de la déviation des rayons lumineux au passage de la surface dioptrique de révolution air-eau de l'entonnoir du vortex. Il suffit de mesurer le diamètre de la tache circulaire sombre constituée par l'intersection de la surface caustique avec le radier de la

chambre, au préalable gradué (Voir figure 20) de telles mesures peuvent être effectuées à partir des méthodes cinématographiques d'enregistrement. Cette méthode présente l'avantage de pouvoir établir par des essais, une correspondance entre la valeur de la circulation autour du vortex (déterminée à partir du diamètre de la tache), la hauteur d'eau dans la chambre et le débit d'aspiration de la pompe. La méthode des rayons réfractés, permis d'obtenir par l'intermédiaire du diamètre de la tache, une relation entre la Hauteur H d'eau et la circulation Γ autour du vortex.

$$\Gamma = \frac{3 \cdot \pi}{16} \cdot d^2 \sqrt{\frac{3g}{H}} \quad \text{ou} \quad \Gamma = \frac{3\pi}{16} \cdot 4 \cdot r_0^2 \sqrt{3} \cdot g^{1/2} \cdot H^{-1/2} \text{ avec } d=2r_0$$



Tache caractérisant à chaque instant l'évolution d'un vortex.

Figure - 20-

**MODELISATION
DES PHENOMENES
DE VORTEX**

III Modélisation des phénomènes de VORTEX.

III.1 Utilités des modèles réduits

Avant toute réalisation d'un projet d'une construction coûteuse, il est parfois recommandable d'étudier, sur une réplique à petite échelle (modèle) les performances du système (prototype) à construire. Les modèles réduits permettent d'effectuer aisement de nombreuses expériences, de les répéter en cas de nécessité en variant dans tel ou tel sens, tel ou tel paramètre du problème, et d'éviter de coûteuses erreurs et d'obtenir des informations qui seront utiles pour l'étude du prototype.

III.2 Similitude des Vortex.

Le problème de la similitude des phénomènes de vortex est très complexe, mais il apparaît intéressant de connaître les conditions de similitude adoptées par les laboratoires lorsque, le cas échéant, un modèle avait été réalisé et les comparaisons prototypes effectuées. De telles comparaisons sont d'ailleurs indispensables pour vérifier les conditions de formation de vortex, et la valeur des dispositifs anti-vortex proposés.

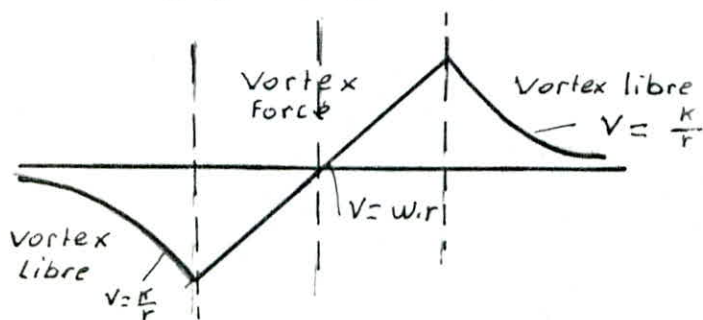
III.3 Principaux critères.

L'analyse théorique de la formation des vortex dans une chambre d'aspiration, ne pouvant permettre d'une façon générale, de déterminer les conditions géométriques à imposer,

à cette chambre pour éviter la création de vortex, il est de ce fait souvent nécessaire d'essayer de reproduire ces phénomènes sur modèle réduit.

Toute fois, une difficulté apparaît immédiatement dans le choix de la similitude à respecter pour représenter ces phénomènes. Il est évident que les nombres de Froude, de Weber, et de Reynolds doivent intervenir dans la similitude.

La dépression initiale de la surface libre nécessite, comme dans tous les modèles à surface libre où des forces de gravité sont prépondérantes, l'égalité du nombre de Froude entre (dans) le modèle et le prototype. Pour des dépressions notables du centre du vortex, les forces de tension superficielles ne peuvent être négligées et il est certainement nécessaire d'en tenir compte en respectant le nombre de Weber. De même la rotation en bloc de l'eau vers "l'axe central du vortex, les conditions d'aspirations sous la tulipe de la pompe ou vers l'orifice de prise imposent également, puisque les forces de viscosité prennent localement des valeurs non négligeables, le respect du nombre de Reynolds.



A ces trois nombres de Froude, Weber, REYNOLDS, l'application de l'analyse dimensionnelle permet notamment encore de mettre en évidence le rapport $\frac{V.D}{\Gamma}$

où D est le diamètre, V la vitesse.

La grandeur Γ est la circulation suds d'une particule fluide animée d'une vitesse tangentielle U , et dans le rayon de courbure de la trajectoire autour du vortex est r .

L'action sur cette particule des forces centrifuges peut s'écrire:

$$F_c = \rho dr \cdot dA \cdot \frac{U^2}{r} = \rho dr \cdot dA \cdot \frac{\kappa^2}{r^3} \quad (\text{avec } \kappa = \frac{\Gamma}{2\pi})$$

Les forces totales d'inertie sont $F_i = \rho dr \cdot dA \cdot \frac{dv}{dt}$

$$F_i = \rho \cdot dr \cdot dA \cdot \frac{d(v^2)}{ds}$$

Ainsi le rapport des forces centrifuges aux forces d'inertie $\frac{\kappa^2 \cdot ds}{r^3 \cdot v \cdot dv}$, soit du point de vue dimensionnel $\frac{[\kappa^2]}{[L^2] [V^2]}$, le rapport

$\frac{V.D}{\Gamma}$ est donc proportionnel à la racine carrée de l'inverse du rapport des forces centrifuges aux forces d'inertie.

III.4. Impossibilité de la réalisation d'une similitude complète.

Une représentation en similitude complète d'un vortex sur modèle paraît donc impossible, car elle nécessite le respect simultané de tous les nombres sans dimensions précédents.

En fait, pour la réalisation d'essais sur modèle (à une échelle géométrique λ). Outre une modification de la vitesse de l'écoulement, on peut introduire une variation des caractéristiques

physiques du liquide utilisé (viscosité dynamique, masse spécifique, tension superficielle...), ces modifications peuvent être obtenues par variation de la température, par changement de la nature du corps ou simultanément par ces deux opérations le respect simultané des nombres de FROUDE et de REYNOLDS peut être obtenu par modifications de la viscosité cinématique du liquide utilisé (par changement de la nature du liquide ou par variation de la température).

L'égalité des nombres de FROUDE (modèle et prototype) donne: $\lambda \cdot \lambda g = \lambda_v^2$ puisque le pesenteur g ne peut pas changer entre modèle et prototype donc $\lambda g = 1$

$$\text{d'où } \lambda = \lambda_v^2 \text{ ou } \lambda_v = \lambda^{1/2} \quad (1)$$

en faisant l'égalité de REYNOLDS (modèle - prototype).

$$\text{on obtient: } \lambda_v \cdot \lambda_s = \lambda^2 \quad (2)$$

remplaçant λ_v par sa valeur dans (2)

$$\text{d'où } \lambda^{3/2} = \lambda_s \text{ ou } \lambda^3 = \lambda_s^2$$

Le respect du nombre de WEBER donne:

$$\lambda_v = \lambda_p \cdot \lambda_s^{1/2} \cdot \lambda \quad (3)$$

remplaçant λ_v par sa valeur dans (3)

$$\text{d'où } \lambda_v = \lambda_p \cdot \lambda^2 \Rightarrow \lambda^2 = \frac{\lambda_w}{\lambda_p}$$

Or dans la pratique il est très difficile de faire varier entre le modèle et le prototype la viscosité cinématique λ ; cela nécessiterait l'utilisation de liquides spéciaux très onéreux

le plus souvent on utilise l'eau sur le modèle et le prototype c'est à dire $\lambda S = 1$ et $\lambda p = 1$, d'où il résulte $\lambda = 1$, autrement dit le modèle est identique au prototype, il est donc pratiquement impossible de réaliser des essais en modèle réduit permettant de satisfaire simultanément l'égalité de tous les nombres considérés.

III.5 Lois de similitude réalisées

L'écoulement habituel à l'intérieur de la chambre d'aspiration lorsqu'il n'est pas accompagné de phénomènes perturbateurs ne pose pas de problèmes spéciaux concernant le modélage. Dans le cas où des phénomènes apparaissent sous la forme de tourbillons liés ou non à la surface libre, il n'y a pas encore d'opinion unitaire en ce qui concerne la similitude et le modélage de l'écoulement.

plusieurs auteurs prétendent que l'égalité des nombres de FROUDE entre modèle et prototype, est essentielle pour assurer une similitude dynamique.

Quich [28] a préconisé que la similitude dynamique que la similitude existera entre des systèmes géométriquement semblables.

Les études de HATTERSLEY [16] comme celles de IVERTSEN [19] faites sur le modèle réduit avec aspiration verticale ont montré en se basant sur le nombre de Froude que des vitesses sur

le modèle étaient faible pour donner des résultats quantitatifs et permettant uniquement de déterminer les régions de formation de vortex.

En faisant des expériences sur l'étude de vortex, lors de l'écoulement par des orifices DAGGETT [9] et KEULEGAN [9] ont trouvés que les effets de la viscosité deviennent négligeable pour $\frac{Q}{J.O} > 2,5 \cdot 10^4$ et ainsi la similitude s'obtiendra par l'égalité du nombre de Froude.

les recherches de DENNY [10] portant sur la formation des vortex dans un modèle d'une chambre, ont montré que pour qu'il y ait une similitude, les vitesses dans le modèle et le prototype doivent être les mêmes, par contre HAINOL [15] a montré que le début d'entraînement d'air est en fonction du nombre de REYNOLDS.

ZIELNISKI et VILLEMONTE [17] ce sont basé sur l'effet de la viscosité sur la formation des vortex.

AMPRIELETT [1] a arbitrairement fixé $\frac{Q}{J.S} > 3 \cdot 10^4$ comme limite de liberté de l'effet de la viscosité dans une aspiration horizontale.

HUGHES [18] prétend que l'entraînement d'air dans un vortex doit dépendre de la tension superficielle.

III.5.1 Détermination de la submersion

a) les travaux de REDDY [30]

Si la hauteur d'eau au dessus de la prise est trop petite l'entrainement d'air par le vortex se développe et ses effets adver̄ses affectent le rendement des machines hydrauliques et production des bruits et vibrations au niveau de l'installation. Ainsi on considère que l'entrainement d'air est fonction de plusieurs variables.

$$f(S, d, \delta, \mu, g, h, \lambda, g) = 0 \quad (1)$$

S - submersion

d - diamètre de la prise

μ, g sont respectivement la viscosité et la densité du fluide
 λ , est la longueur d'onde (voir figure 21 a.)

en utilisant le théorème de BUCKINGHAM, l'équation (1) peut être réduite en une autre dépendant des nombres adimensionnels : $\Psi(Fr, Re, S/d; \lambda/h) = 0 \quad (2)$

dans l'équation (2), le nombre de REYNOLDS peut être éliminé du champ du présent problème, puisque la formation du vortex est un phénomène de surface par conséquent la formation du vortex, dépend du nombre de Froude (Fr) et du paramètre d'onde λ/h .

La submersion critique S/d est dépendante de Fr et λ/h

$$S/d = f(Fr; \lambda/h) \quad (3)$$

La force du vortex dépend de la vitesse d'écoulement et par conséquent du nombre de Froude. Pour une eau profonde λ/h est négligeable, la profondeur h est généralement comparable à la longueur d'onde λ et ceci conventionnellement dans les installations hydro-électriques de ce fait l'équation (3) peut s'écrire.

$$S/d = f(Fr) = f\left(\sqrt{V/g \cdot d}\right) \quad (4)$$

GORDON [14] trouve par essai une équation équivalente où (4) : $S = C \cdot V \cdot d^{1/2}$ (5)

où C varie entre 0,3 et 0,4.

$$\text{généralement } \frac{S}{d} = \frac{V}{\sqrt{g \cdot d}} \text{ où } S = \frac{V \cdot d^{1/2}}{\sqrt{g}}$$

avec $C = 0,319$ ou $C = \frac{1}{\sqrt{g}}$

Les résultats du test sont portés dans la Figure 21.b avec $\frac{S}{d}$ en ordonnée (y) et le nombre de Froude en abscisse (x). Les résultats de GORDON représentent les vortex dans les prises tandis que les autres résultats ils représentent la submersion critique.

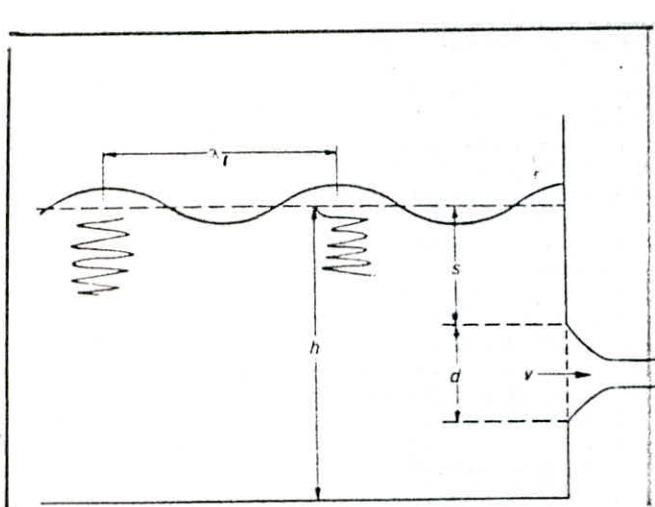
Une indication pour toute prévention du vortex est que la submersion critique serait toujours supérieure au nombre de Froude.

Ainsi une apparition du vortex est possible quand $\frac{S_c}{d} < Fr$ et la tendance est moindre quand $\frac{S_c}{d} > Fr$.

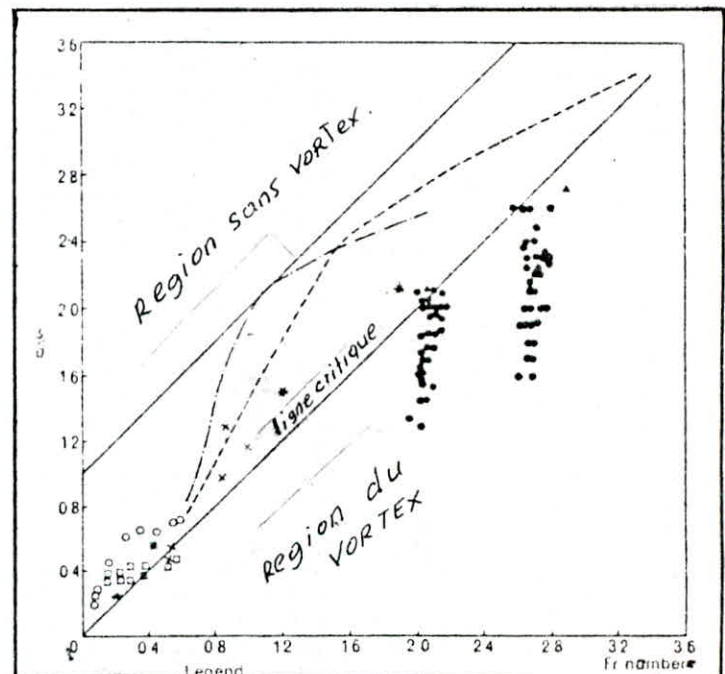
Tous les résultats se situent dans la bande comprise entre la

droite oblique passant par le point O correspondant à $\frac{S}{d} = Fr$ et la droite correspondant à $\frac{S}{d} = 1 + Fr$ par l'utilisation de bon mécanismes tels que les écrans horizontaux ou des radeaux flottants, la submersion critique pourrait descendre, pour ainsi réduire les recommandations de $\frac{S}{d}$.

En conclusion quand les mécanismes de prévention sont utilisés $\frac{S}{d} = Fr$ devient $\frac{S}{d} = 1 + Fr$



21.a) Schéma de la prise



21.b) dépendance de la submersion critique sur le nombre de Froude

- chambre cylindrique (Ref [22])
- chambre rectangulaire (Ref [22])
- ×
- / — " ([19])
- / — " ([11])
- / — " ([11])
- *
- chambre rectangulaire avec deflecteur (30)
- ▲ chambre rectangulaire ([30])

b) de GORDON [14]

Selon GORDON la submersion S peut être exprimée par la formule empirique suivante

$$S = C \cdot V^n \cdot d^m \quad (1)$$

C est un coefficient

V - vitesse d'entrée dans la prise

d - diamètre de conduite d'aspiration

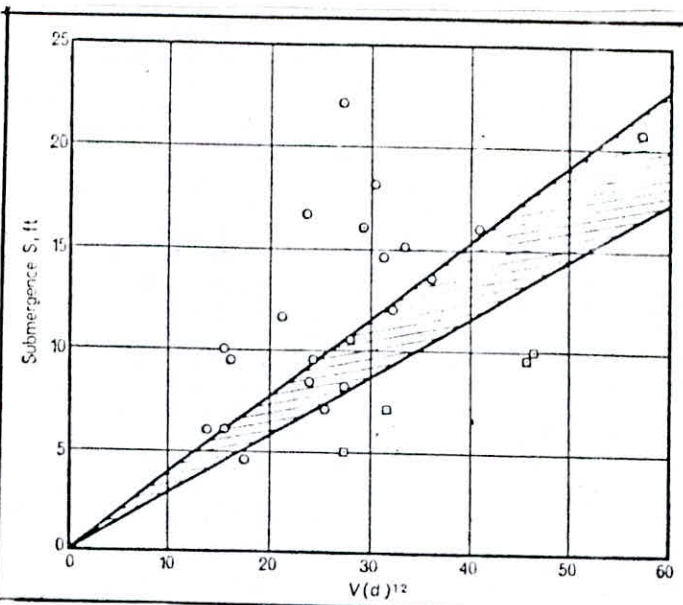
Notons que les expériences ont été faites sur une installation à aspiration horizontale.

Les essais et l'erreur commise sur la procédure indique qu'une relation raisonnable peut être obtenue avec $n=1$ et $m=\frac{1}{2}$.

donc l'équation devient: $S = C \cdot V \cdot d^{\frac{1}{2}}$

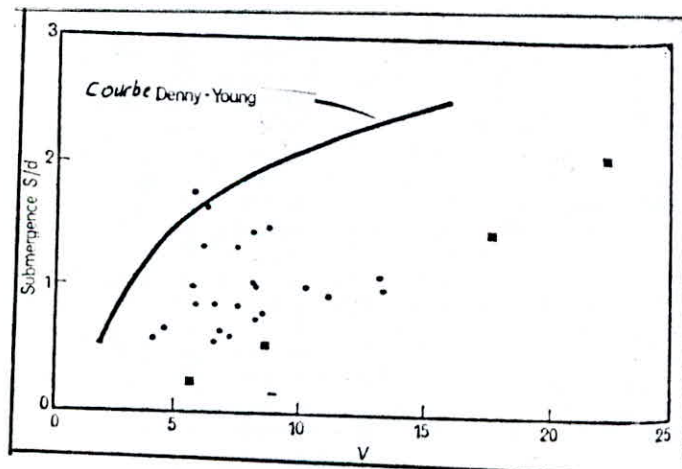
pour une approche d'écoulement à la prise la submersion devient $S = 0,3 \cdot V \cdot d^{\frac{1}{2}}$ où $C=0,3$, ce quelle correspond à la limite inférieure de la surface hachurée (voir Fig 22), et pour des prises avec un approche d'écoulement latérale la submersion minimale augmentera de $S = 0,4 \cdot V \cdot d^{\frac{1}{2}}$ où $C=0,4$, ce quelle correspond à la partie supérieure de la surface hachurée (voir Fig 22)

A noter que l'effet d'échelle peut être obtenu par comparaison de la submersion critique, avec les résultats obtenus par DENNY [10] (voir Figure 23.)



□ prises sans problème de vortex
 ○ prises avec problème de vortex
 ■ Submergence minimale recommandée

Figure 22. Limite de la submersion minimale



■ prises avec problèmes de vortex
 • prises sans problèmes de vortex.

Figure 23: DENNY [10]

§ 5.2 Mesure de la circulation Γ

En pratique il est difficile de mesurer la circulation du vortex Γ , elle peut être prise en considération quand les trois nombres MF , Re , We sont maintenus constants. En analyse dimensionnelle la relation fonctionnelle qui décrit le vortex est une fonction à plusieurs variables :

$$f(W, C, X, L, D, S, V, g, \beta, \Gamma) = 0 \quad (1)$$

Pour passer des paramètres dimensionnels aux paramètres adimensionnels, il faut appliquer le théorème de PI, (BUCKINGHAM). L'équation (1) devient

$$f\left(\frac{W}{D}; \frac{C}{D}; \frac{X}{D}; \frac{L}{D}; \frac{S}{D}; \frac{V}{D}; MF; Re; We\right) = 0 \quad (2).$$

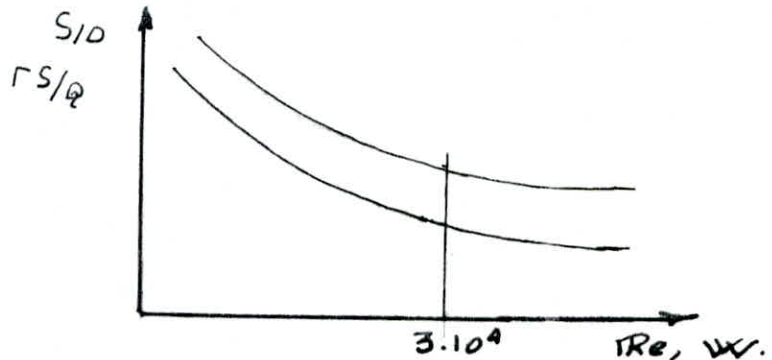
A ces trois nombres MF , Re , We , s'ajoute le paramètre sans dimension $\frac{\Gamma \cdot S}{Q}$ où la circulation Γ ne peut être mesurée, que lorsque le nombre de Reynolds a une valeur de $3 \cdot 10^4$, à ce moment les effets d'échelle de viscosité sont négligeables et l'équation (2) ne dépend que du nombre de Froude.

$$\frac{S}{D} = f\left(\frac{W}{D}; \frac{C}{D}; \frac{X}{D}; \frac{L}{D}; \frac{D}{D}, MF\right) \quad (3)$$

Les travaux d'AMPHLETT [2] sur des chambres rectangulaires, avec une aspiration horizontale ou verticale ascendante, ont montré que la circulation Γ est liée à la submersion S par la relation :

$$\Gamma = aS + b$$

où $a = 0,012 \text{ m} \cdot \text{s}^{-1} [\text{L T}^{-1}]$ et $b = 0,00057 \text{ m}^2 \cdot \text{s}^{-1} [\text{L}^2 \text{T}^{-1}]$
 quand les unités respectives de T et s sont:
 $\text{m}^2 \cdot \text{s}^{-1} [\text{L}^2 \cdot \text{T}^{-1}]$ et $\text{m} [\text{L}]$; donc l'étude par rapport
 à $\frac{s}{D}$ est valable.



III 5.3. Recherche de l'échelle de vitesses λv

Introduction:

Le mouvement du vortex dans la chambre d'aspiration peut affecter plutôt défavorablement l'opération de prise.

Un domaine d'écoulement assymétrique est formé à l'intérieur de la section non uniforme, due au mouvement du vortex.

Un dernier stade du mouvement du vortex est absolument inadmissible, à partir de cet instant l'opération de prise est non stable et après un certain moment le pompage est complètement interrompu. Le mouvement du vortex dans la chambre d'aspiration est plutôt étudié à partir d'un modèle réduit, la solution par la méthode analytique est très compliquée et inexacte. L'issue à cette question

est principalement, que le mouvement du Vortex n'est pas
similairement sûr, par les moyens de critères de base du
modèle de similitude permis lesquels appartient :

$$\text{nombre de Froude} \quad Fr = \frac{V^2}{L \cdot g}$$

$$\text{nombre de Reynolds} \quad Re = \frac{L \cdot V}{\nu}$$

$$\text{nombre de Weber} \quad We = \frac{L \cdot V^2 \cdot \rho}{\sigma}$$

où V - vitesse du profile

L - dimension de la longueur

ν - viscosité cinématique

σ - tension à la surface du liquide

ρ - poids spécifiques.

L'échelle de longueur λ est exprimée par la relation

$$\lambda = \frac{L_p}{L_m}, \quad \text{la circulation } \Gamma \text{ du vortex s'exprime par}$$

Le coefficient de la vitesse périphérique U et le rayon
de courbure r qui est aussi un paramètre signifiant
du mouvement du vortex. $\Gamma = 2\pi \cdot r \cdot U$

Pour une similitude géométrique ayant pour échelle
de longueur, la circulation du vortex Γ peut être
considérée dans le modèle de similitude seulement
quand les trois critères de base Fr , Re , We restent
maintenus constants. Il est bien connu qu'à partir
du modèle pratique d'étude, cette condition n'est pas
remplie, l'étude du vortex sur modèle est réalisée

$\lambda v = 1,15$. Le graphique de la figure 27 montre que l'échelle de vitesse λv , pour le commencement du vortex aéré, qui augmente avec l'augmentation de l'échelle de longueur λL , et aussi l'avec la diminution de la profondeur d'eau h , à l'intérieur de la chambre.

À une profondeur h supérieur que $h = 3 \cdot d$, est une échelle de longueur plus grande que $\lambda = 2,2$, l'échelle des vitesses est approximativement égale à une valeur constante $\lambda v = 1,28$.

Calcul des paramètres à partir du modèle en structure virtuelle.

Les graphes des figures 26 et 27 peuvent être employés comme critères pour le calcul des paramètres V et h , à partir du modèle de la structure.

Dans la conception pratique l'échelle des longueurs λ est souvent connue ou peut être choisie, ajoutant à ça, deux ou trois paramètres seraient donnés ou choisis.

- 1 - la profondeur d'eau h de la chambre
- 2 - la vitesse moyenne V à l'intérieur de la conduite d'aspiration, le diamètre de la tulipe D est donné concernant (1) la conception de la vitesse critique et du débit Q pour avoir besoin de la profondeur de l'eau.

avec les mêmes vitesses tel que compte une structure réelle.

a) Recherche des résultats.

Le but de ZAJDLIK [38] est de contribuer à une expression plus précise du critère de la similitude du commencement du mouvement tourbillonnaire, dans les chambres d'aspirations avec une aspiration verticale ascendante. De résultats de recherches des conditions, de formations de vortex sur cinq modèles de différentes grandeurs avec les diamètres d'aspiration de tulipe :

$D = 120; 150; 256; 300; 400 \text{ mm}$ (Voir Figure 24)

La relation entre les échelles de longueurs λ de vitesses λ_v et la profondeur de l'eau h dans la chambre d'aspiration a été exprimée. La précision de calcul est facilitée par les graphes des figures 26 et 27 qui expriment le rapport $\lambda_v = \frac{v_p}{v_m} = f(\lambda, \frac{h}{D})$

A partir du graphe figure 26 peut être déduite l'échelle de vitesse λ_v pour le début de formation du vortex à ~~l'origine~~ qui augmente avec l'augmentation de l'échelle de longueur λ et aussi avec la diminution de la profondeur h dans la prise. Quand la profondeur h est plus grande que $4 \cdot D$ l'échelle de longueur est plus grande que $\lambda = 2,7$, λ_v ne change pas substantiellement et elle est approximativement constante

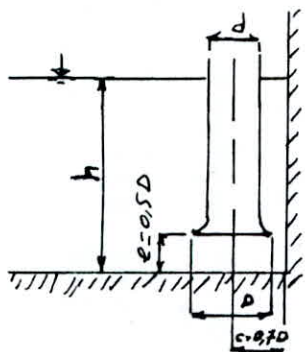


Figure 24
la tulipe dans la chambre
d'aspiration
- mesures de base.

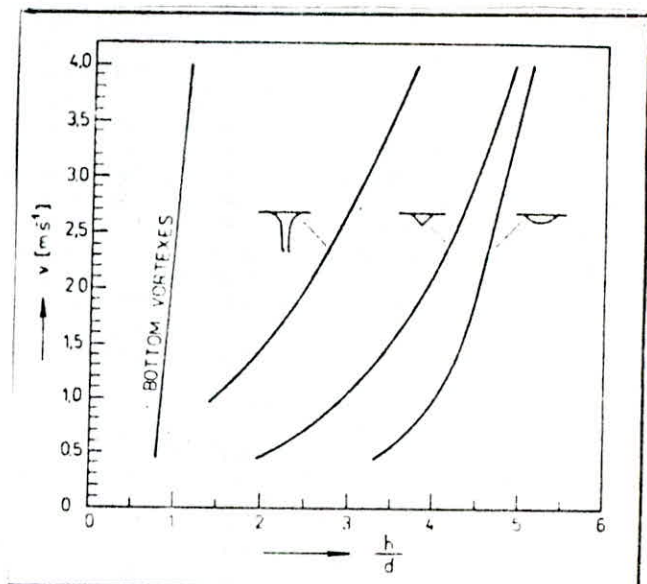


Figure 25

La dépendance de vitesse v de la profondeur relative $\frac{h}{d}$ pour le début de formation de vortex dans la chambre d'aspiration.
Diamètre de la tulipe $d = 256$ mm.

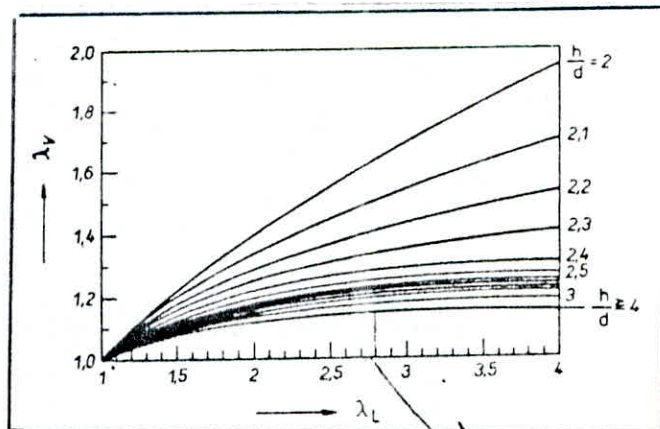


Figure 26

L'échelle de vitesse λ_v pour le commencement de formation de vortex aéré

A partir des graphes des figures 26 et 27, l'échelle des vitesses λ_V est définie pour des valeurs de $\frac{h}{d}$ et 10 pour le commencement des vortices aériens. Ensuite les graphes $V_m = f\left(\frac{h_m}{d_m}\right)$ sont utilisés sur la base de calcul du modèle d'étude, les résultats semblables qu'en figure 25, et les valeurs de la vitesse critique V_m sont déterminées. Le calcul de la vitesse V de la structure virtuelle est représenté par la relation suivante

$V = \lambda_V \cdot V_m$, et la valeur du débit à partir de la relation $Q = \frac{\pi}{4} \cdot d^2 \cdot V$.

concernant (2) la conception de la profondeur critique d'eau, pour avoir besoin de la vitesse V et l'échelle de l'longueur d . Ce second cas est plus compliqué autant que le cas précédent puisqu'on utilise le procédé de la méthode itérative. En premier lieu la valeur de l'échelle des vitesses $\lambda_V = 1$ est utilisée. Les graphes amenant à la recherche du modèle recherché et les résultats employés $V_m = f\left(\frac{h_m}{d_m}\right)$ et pour la connaissance ou le choix de la valeur de la vitesse $V_m = V$, la valeur critique du rapport suivant : $\frac{h_m}{d_m} = \frac{h}{d}$ sera la à partir du graphe.

pour les valeurs 1 et $\frac{h}{d}$ l'échelle de vitesse λ_V est

définie à partir des graphes des figures 26 et 27 ensuite la nouvelle valeur de la vitesse du modèle est calculée. $V_{m1} = \frac{V}{\lambda v_1}$ à partir du graphe $V_m = f\left(\frac{h_m}{d_m}\right)$ la nouvelle valeur du rapport $\frac{h_{m1}}{d_m} = \frac{h_1}{d}$ peut être déduite de la vitesse V_{m1} et à partir des graphes des figures 26 et 27, la nouvelle valeur de l'échelle des vitesses est déterminée (λv_2) si la différence $\Delta \lambda v_2 = \lambda v_2 - \lambda v_1$ est grande, la valeur est déterminée dans l'itération suivante avec un autre pas sur le modèle. $V_{m2} = \frac{V}{\lambda v_2}$ et le processus est répété jusqu'à ce que la différence entre les deux valeurs successives est négligeable.

$$\Delta \lambda v_i = \lambda v_i - \lambda v_{i-1}$$

A partir de la valeur $\frac{h_i}{d} = \frac{h_{mi}}{d_{mi}}$, la profondeur critique d'eau h_i peut être déterminée

Comparaison des résultats de calcul $Q = f(h)$ à partir de la structure du modèle selon les différents critères du modèle.

L'effet des critères Re ; Re_s ; $\lambda v = 1$, et $\lambda v = f(1, \frac{h}{d})$ sur les résultats des paramètres Q et h , le calcul à partir de la structure du modèle peut être revu et considéré pour l'exemple des graphes du débit $Q = f(h)$ dans la figure 28 le commencement des vortex aériens ont été calculés à partir des dimensions du modèle de

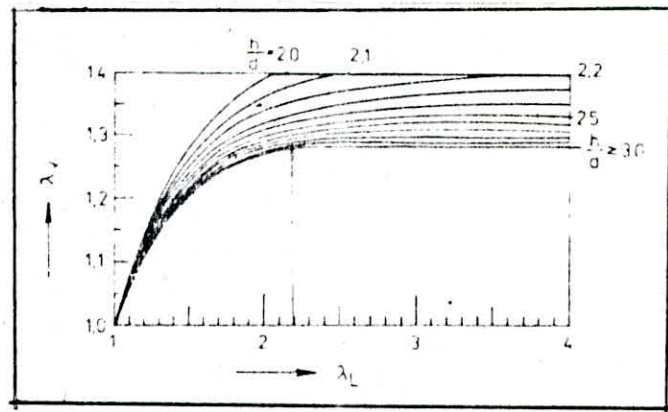


Figure
27

L'échelle de vitesse λ , pour le commencement de formation de vortex non aéré.

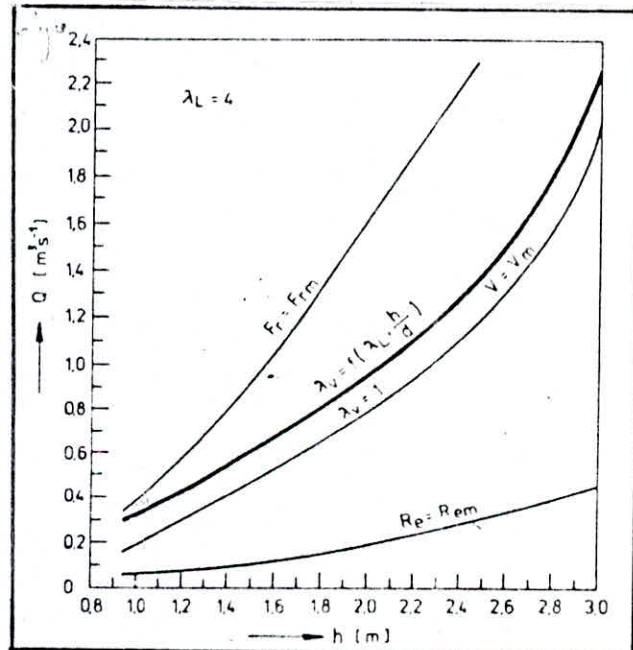


Figure
28

Exemple de graphiques du débit $Q = f(h)$ pour le commencement des vortex aérés du calcul du modèle $d_m = 150 \text{ mm}$ sur $d = 600 \text{ mm}$ suivant les critères F_r , R_e , $\lambda_v = 1$ et $\lambda_v = f(\lambda_L, \frac{h}{d})$

la tulipe $d_m = 150\text{mm}$ et $d = 600\text{mm}$. les valeurs $Q = f(h)$ calculées en utilisant la nouvelle dépendance, et à partir de la Figure 26, qui sont distinguées par un trait gros sur la Figure 28 comparé avec les résultats de calcul. Le critère de Froude diffère considérablement avec le critère de Rey Nolos. Pour le calcul selon le critère de l'échelle de vitesse $\lambda v = 1$, les résultats qui sont obtenus donnent relativement la vraie image des conditions réelles, bien qu'ils varient aussi à partir des résultats de calcul, selon la nouvelle dépendance

$$\lambda v = f(\lambda L, \frac{h}{d})$$

Conclusion :

La dépendance de l'échelle de vitesses $\lambda v = f(\lambda L, \frac{h}{d})$ selon les graphes des figures 26 et 27 est une possibilité d'effectuer un calcul plus exact des paramètres de base convenables pour le jugement du développement du vortex, suivant la recherche des résultats du modèle. L'échelle des vitesses pour le début des vortex aériens et des vortex non aériens grandit avec l'augmentation de l'échelle de longueur et aussi avec l'abaissement de la profondeur d'eau.

III.5. EFFETS D'ÉCHELLE

Une possible difficulté avec l'échelle des modèles est toute fois que les vortex aériens sont l'origine des erreurs de prédictions dues à l'impossibilité de la réduction de toutes les forces pertinentes pour le même facteur quoique la prédominance des forces d'inertie, et des forces de gravitation, sont réduites en similitude du modèle d'échelle de Froude, utilisée dans des études pareilles. Les forces de viscosité et de vitesse superficielle ne peuvent pas simultanément être réduite au temps et l'influence, de ces forces sur le modelage du vortex est appelé effet d'échelle.

1) Les techniques pour surmonter les effets d'échelle
Aussi avec d'autres phénomènes d'écoulement, sujet aux effets d'échelle, tous les trois ANIKAR[3], DAGGETT[9] et KEULEGAN[9] donnent un minimum de suggestion sur le nombre de REYNOLDS ayant une valeur de $3 \cdot 10^4$ basé respectivement sur l'écoulement la submersion, ou le diamètre de la prise. Ces investigateurs indiquent que les effets d'échelles de viscosité sur le vortex sont absents, quand le nombre de REYNOLDS est au dessus de cette limite ($3 \cdot 10^4$), cela implique que le modèle satisfaisant

ce critère peut être opéré par l'écoulement de l'échelle de Froude.

Ce critère suffisant n'est pas accepté, car l'échelle universelle, tous les types d'études montrent que les besoins d'augmenter l'écoulement au dessus de l'échelle de Froude est apparenter à la géométrie, et la submersion relative.

Les forces de tensions superficielles ne peuvent pas être négligées, provoquées par les dépressions du centre du vortex, pour cela il faut tenir compte du nombre de WELBER

Comparaison entre modèle et prototype.

Avec des difficultés dans le champs d'expériences et l'influence d'autres facteurs à côté des effets d'échelle qui peuvent contribuer aux différences entre le modèle et le prototype. Un nombre significatif de tels comparaisons est nécessaire avant toute conclusion générale, la différence dans l'échelle des temps, est aussi établie il apparaît que le vortex en prototype est plus persistant en comparaison avec celui du modèle qui est relativement court.

~~ANNEXE~~

ANNEXE

I) CONFIGURATIONS À RECOMMANDER

Avant toute déclarations, en l'occurrence des vortex, il faut tolérer d'importance la conception des chambres.

La conception de la chambre est de minimiser la formation du vortex, aussi bien que d'assurer parfaitement la performance des pompes

Certains auteurs comme BIRD [7], PROSSER [25] CHANG [8], STEPANOFF [32], ont proposés des exemples d'une bonne conception de la chambre d'aspiration avec une ou plusieurs pompes. généralement ils recommandent les valeurs suivantes

$$Y = \frac{1}{2} \cdot D ; \quad W_1 = 2D \quad (W > 3D \text{ acceptable})$$

$$X = \frac{1}{4} \cdot D. \quad L > 4.0$$

où D. diamètre de la tulipe.

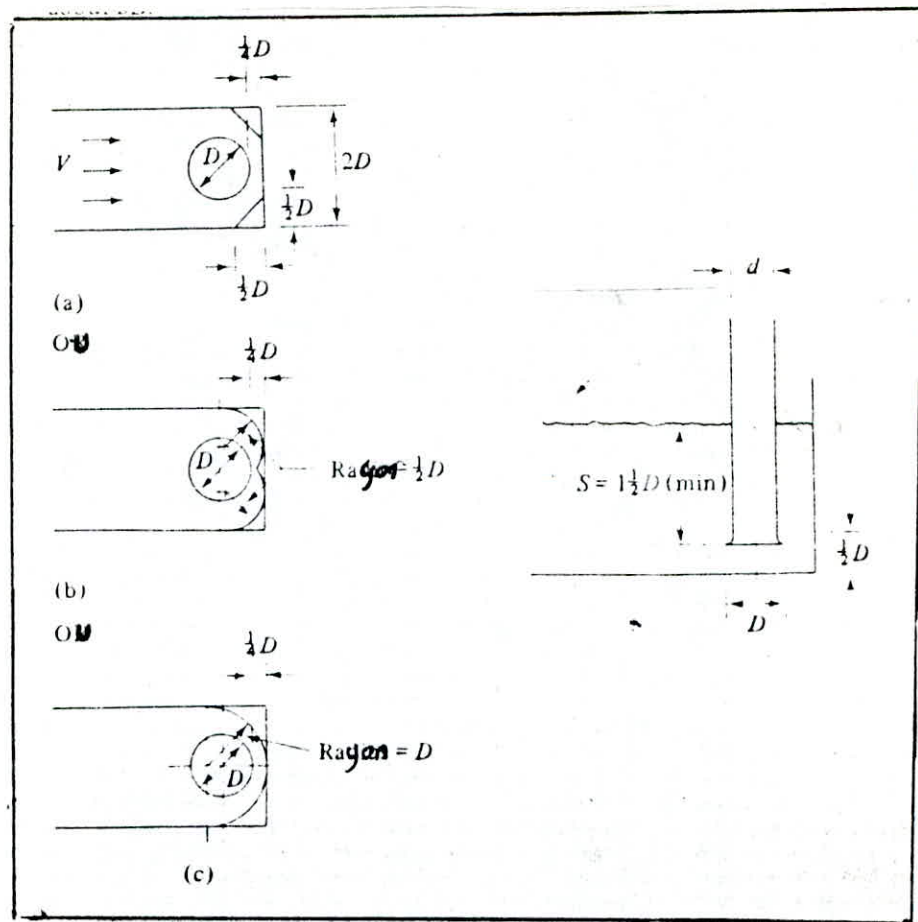
la submersion doit être supérieure ou égale à 1.D ($S \geq 1.D$).

selon STEPANOFF [32] la submersion ne doit pas être inférieur à 1,5 m

II) Configurations avec une seule pompe

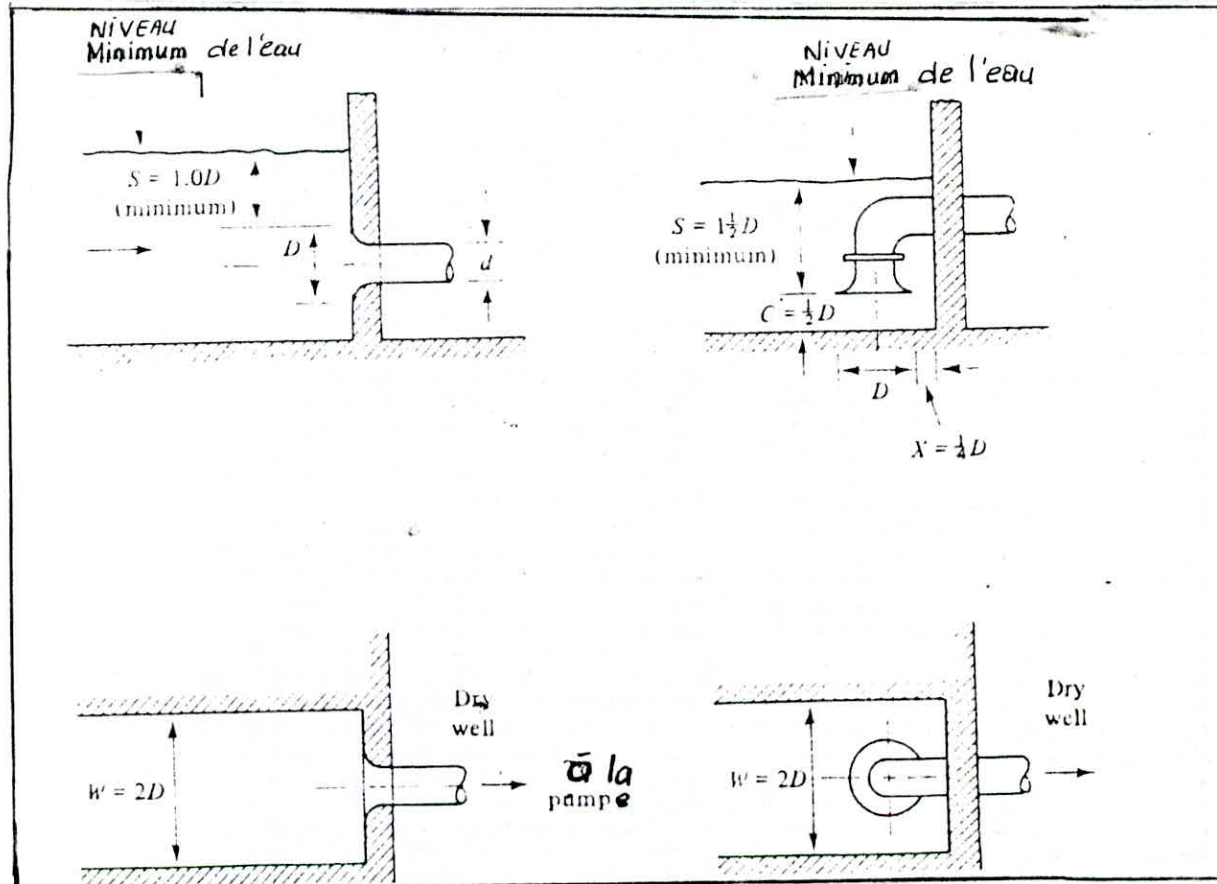
Recommandations de PROSSER ET CHANG

a) disposition verticale



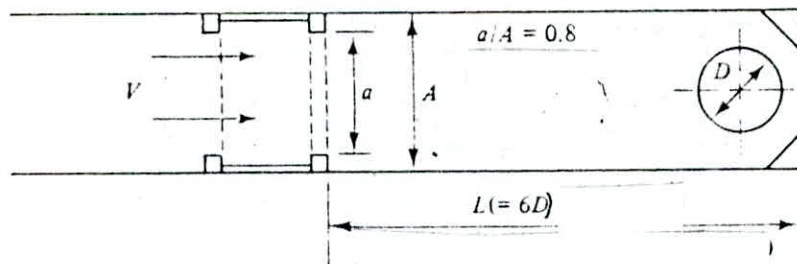
Avec $x = \frac{1}{4} \cdot D$; $y = 0,5 \cdot D$ et $S = 1,5 D$ (minimum)

b) Disposition horizontale

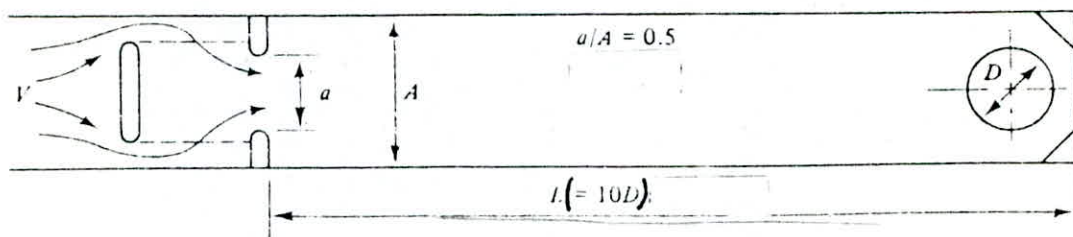


Section	Vitesse moyenne (m/s)
entrée de la pompe	4,0
à la tulipe	1,3
à l'entrée de la chambre	0,3

c) longueur minimale de la chambre.



(a)

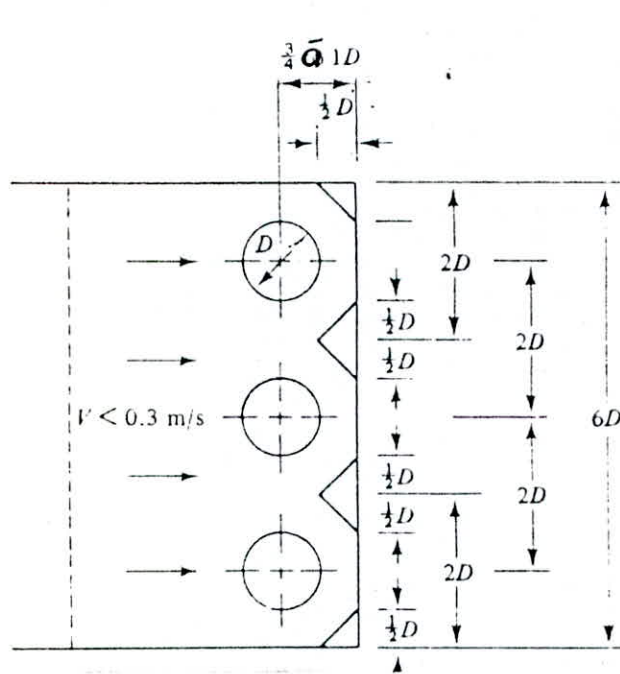


(b)

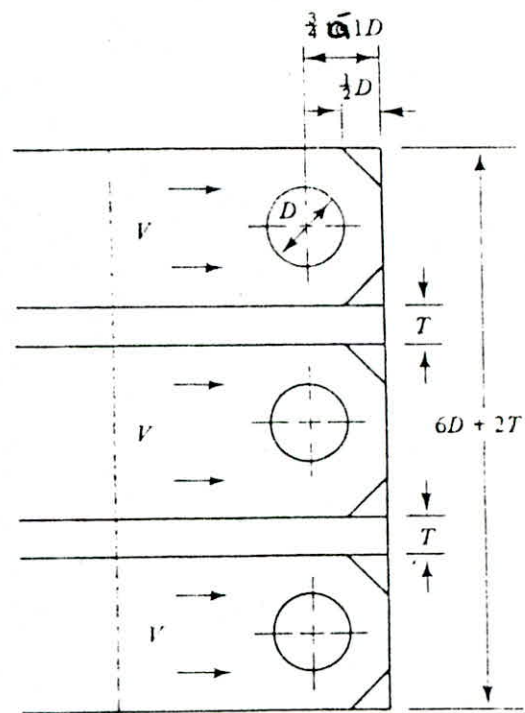
a/A	L/D	
1	4	
0,8	6	Voir figure a
0,5	10	Voir figure (b)
moins que	4	
0,5		

Remarque: Le tableau ci-dessus nous montre les valeurs de la longueur minimale de la chambre, donnée sous forme de rapport (L/D) (ou D le diamètre de la tulipe) qui est fonction du rapport de la largeur de la section réduite sur la largeur de la chambre (a/A).

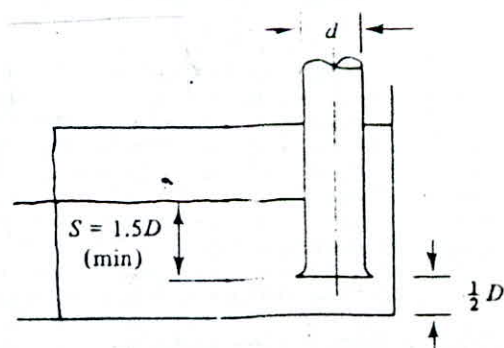
I. 2) CONCEPTION A PLUSIEURS POMPES



(a) *Chambre
ouverte*



(b) *Chambre
à
compartiments*



Remarque: quand l'écoulement à l'entrée de la chambre n'est pas uniforme la figure b est préférable

II AMELIORATION DES CONDITIONS D'ECOULEMENT

1°) Augmenter la submersion

L'effet d'augmenter la submersion, est de diminuer ou de réduire l'entraînement d'air par le vortex.

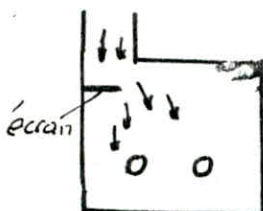
En pratique il est parfois impossible de la réaliser car ça demande dans certains cas une grande excavation ce qui revient très cher, et augmente les coûts de génie-civil.

Donc du point de vue économique pratiquement il est presque impossible d'augmenter la submersion.

2°) Modification des conditions d'approche

Il est possible de faire autrement, pour améliorer les conditions d'approche en les modifiant, mais pour toute modification sur un prototype, il est nécessaire de faire des essais sur modèles réduits

La figure suivante est un exemple de modification des conditions d'approche, elle consiste à placer un écran à l'entrée, ce qui élimine les mouvements tourbillonnaires.



3) Dispositifs Anti Vortex.

Dans la chambres d'aspiration, il existe toujours en pratique des dissymétries (même très faible), des limites géométriques

L'impossibilité de supprimer complètement ces dissymétries peut entraîner la création d'un moment cinétique par rapport à l'axe de la conduite en charge. Pour cela elle nécessite la réalisation des dispositifs anti-vortex.

Parmis les dispositifs anti-vortex qui ont été déjà réalisés, mais dans le cas où l'ouvrage est déjà construit nous pouvons citer :

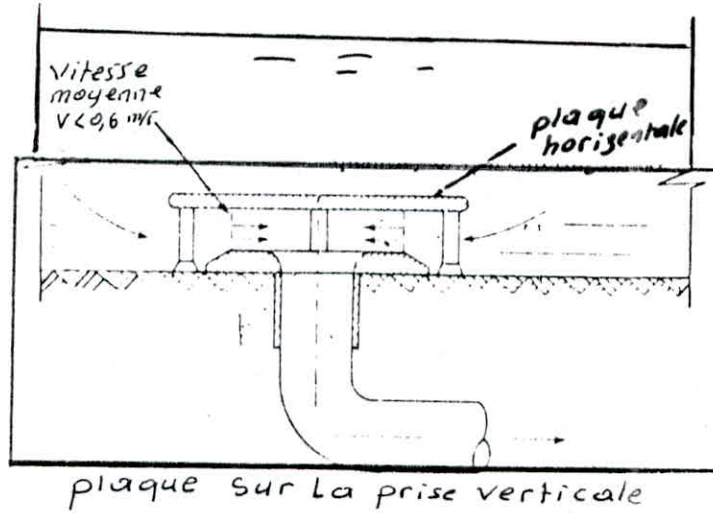
a) dispositifs permettant d'empêcher l'entraînement d'air.

- radeau de bois flottant sur la surface libre

STEPANOFF [32], HAINOL [15]

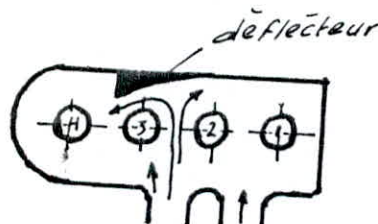
- Flotteur sphérique de dimensions assez importantes, celui-ci entraînées, par les mouvements tourbillonnaires dans la dépression centrale du vortex, empêche l'entraînement d'air (HAINOL)

- plaque sur la prise (PROSSER)



- b) dispositifs permettant de devier l'écoulement
- écrans deviateurs
 - deflecteurs

Sont utilisés le plus souvent où plusieurs pompes sont dans la même chambre



- c) dispositifs permettant de briser le vortex
- tout dispositif immergé qui, heurté par la queue du vortex au cours de son déplacement en provoquera la destruction du vortex

- murette (à l'approche des prises)
 - ailette en croix à l'entrée de l'orifice de prise
- bien que cette solution qui diminue les mouvements tourbillonnaires, soit peut efficace sur le vortex lui même.

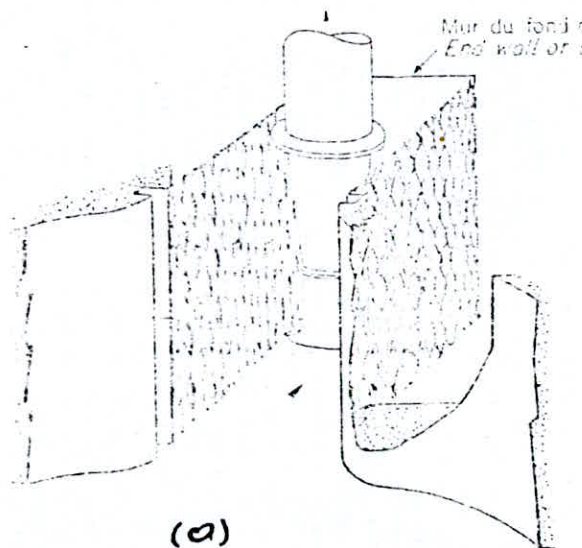
d) Il existe un autre dispositif anti-vortex, plus efficace c'est le dispositif de grilles latérales en métal déployé.

Il consiste à placer dans la chambre d'aspiration parallèlement à la direction de l'écoulement et symétriquement par rapport à la pompe, des grilles latérales verticales en métal déployé. Schémas de principes voir Figures I.a et b. Une grille en métal déployé est constituée par un grand nombre de mailles ayant chacune la forme d'un losange. La dissymétrie de ce métal permet ainsi de présenter à tout écoulement fluide une rugosité latérale sensiblement nulle. Dans le sens normal d'écoulement (à l'entrée - orifice d'aspiration) par contre cette rugosité devient plus importante dans le sens opposé d'écoulement qui engendre toute création de tourbillon (voir fig I.c). Dans ces conditions, et pour des caractéristiques convenables du métal déployé, les expériences faites ont montré que ce dispositif placé sur toute la hauteur d'eau dans la chambre permet de supprimer complètement la formation de vortex et les mouvements tourbillonnaires (torches) sous la tulipe, de plus une visualisation des lignes de courant met en évidence un écoulement calme

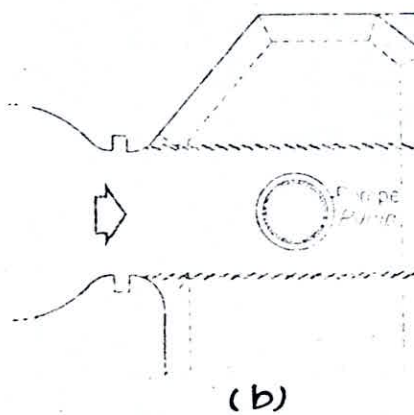
SCHEMAS DE PRINCIPE

Schémas de principe - Principle sketches

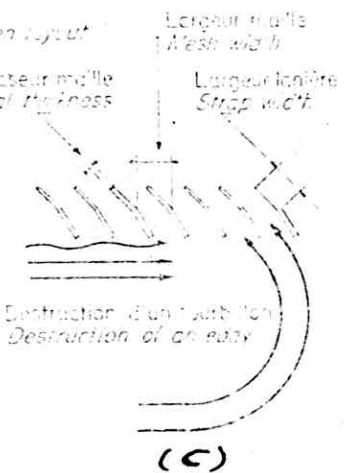
1
56



Disposition des grilles - Screen layout



Exemple d'implantation des grilles de râteau déployé
Example of expanded metal screen layout



57 Dispositif anti-vétes de grille en métal déployé. Expanded metal anti-rooster screens.

Figure I

Complètement régularisé dans la chambre. Les caractéristiques des grilles à disposer dépendent des conditions hydrauliques (hauteur - debit) et de la valeur initiale de la circulation du fluide dans l'entrée de la chambre les expériences ont montré aussi que si des cloisons pleines sont mises à la place des grilles, le vortex ne sera pas détruit, mais si ces mêmes cloisons pleines sont disposées derrière les grilles (du côté opposé à l'orifice de succion), tous les mouvements tourbillonnaires (tut) sont supprimés. De ce fait, le dispositif de grilles verticales en métal déployé peut empêcher la formation de vortex dans des formes quelconques de chambre d'aspiration quelque soit la forme du bassin d'aspiration, il est ainsi possible de disposer à l'intérieur autour de chaque orifice de succion un ensemble de grilles verticales dirigées à chaque fois dans la direction de l'écoulement.

Dans le cas particulier de pompes verticales plongeantes dans une chambre, il est disposé également derrière celles-ci pour joindre les deux grilles latérales et éviter une zone d'eau morte non délimitée à l'arrière de la pompe, une autre grille verticale dans le sens des mailles.

Ce dispositif élimine également les mouvements tourbillonnaires non axés (mouvements d'ensemble sur la surface libre, tourches et mouvement de rotation sous la tulipe ..), et permet la régularisation de l'écoulement avec une perte de charge négligeable.

Ce dispositif a été déjà installé dans de nombreuses installations et a donné une efficacité totale des résultats concernant à ceux obtenus sur modèle.

Signalons enfin que pour le métal déployé deux dispositions sont à distinguer :

Le sens « mailles » et le sens « contre mailles » pour éviter toute formation du vortex, le sens adopté est le sens « contre-mailles ».

CONCLUSION

les essais des phénomènes tourbillonnaires sur les modèles réduits, n'ont pas abouti jusqu'à présent à l'élaboration d'un critère de similitude unique, ceci provient de l'absence d'une théorie de ces phénomènes, (mechanisme de formation, part d'intervention des forces de viscosité et de tension superficielle) et du nombre important des paramètres intervenant dans le phénomène. Nous pouvons citer par exemple le non respect dû nombre de REYNOLDS entre le modèle et le prototype, l'impossibilité de trouver l'échelle géométrique λ , liant le modèle et le prototype.

Toutefois il est possible de réaliser une similitude basée sur le critère de Froude, seulement quand on considère les petites dépressions initiales de la surface libre du liquide.

Les recommandations données ne sont pas une solution définitive, à tout problème de modélisation, mais constituent néanmoins un guide minimisant les effets du vortex.

L'expérimentation sur modèles réduits permet dans chaque cas, de dégager la solution définitive.

BIBLIOGRAPHIE

- 1) AMPLETT, M.B "Air- entraining vortices at a horizontal intake"
Report N° 007 H.R. 3.WI oxford Shire ENGLAND Avril 1976
- 2) AMPLETT, M.B; "Air- entraining Vortices at a vertically inverted intake"
Report N° 0017 H.R.5.WI oxford Shire England septembre 1978.
- 3) ANXIHR, H.O "prevention of vortices at intakes power"
VOL. 20 P.P. 393-401 1968
- 4) J. P. BERGE - "Enquête sur la formation de vortex et autres anomalies d'écoulement dans une enceinte avec ou sans surface libre
(rapport de la Société Hydrotechnique de France)
LA Houille Blanche - n°1 1966
- 5) J.P. BERGE "Suppression de l'entraînement d'air par vortex dans quelques cas particuliers
Le génie civil 15 décembre 1959
- 6) J.P. BERGE - Étude expérimentale des phénomènes de vortex dans un liquide à surface libre : méthodes optiques expérimentales
- Bulletin du centre d'essais et de recherches de Chatou
n°1, 13 octobre 1965.
- 7) R.H. Bird " Sump design for optimum pump performance
- 8) CHANG, E. "Review of literature on drain vortices in cylindrical tanks" BHRA Report TN1342, 32 pp (MARCH 1976)
- 9) DA GGETT, L.L et KEULEGAN, GH; "Similarity conditions in Free surface vortex formations" Journal of Hydraulics Division . ASCE Vol 100 N° Hy 11 prologue 109 41
P.P. 1565 - 1581 Nov 1974
- 10) DENNY, D.F " An Experimental study of Air Entrainning Vortices in pump sumps" proceeding of the institution of mechanical Engineers London ENGLAND VOL 170 N° 2
P.P. 106- 116.
- 11) DENNY , D.F. et young G.A.J. " the prevention of vortices and swirl at intakes " BHRA report SPS83, 10 pp + 14 figs . (JULY 1957).
- 12) DICMAS J.L "Development of an optimum Sump design For propeller and mixed-flow pumps"
ASME paper 67-FE- 26- 8pp (MAY 1967)

- 13) FRASER (W.H) "Hydraulic problems encountered in intake structures of vertical well, pit pumps and methods leading to their solution". Transactions ASCE. Vol 75 (mai 1953) n°34.
- 14) GORDON (J.L) "Vortices at intakes structures" ASCE Journal of the hydraulics division 1978 101 104 No Hy10 p 1444 . pp 1318 Vol 14 April 1970
- 15) HAIDL, K "Contribution to Air Entrainement by a vortex" proceeding of the 8th congres of the International Association of Hydraulic Research Montreal Canada P. 16.0 1959
- 16) HATTERSLEY, R.T "Hydraulic design of pump intakes" proc. ASCE Journal . Hydraulic Div, 91, Hy2 part 1, pp 223-249 (MARCH , 1965)
- 17) GEORGE E. HECKER M. ASCE. "Model - prototype comparison of Free surface vortices" Hy 10 october 1981
- 18) HYGIES, R.L "Discussion of similitude conditions in free surface Vortex formations" by DAGGERT & E. et KEULEGAN, G.I. journal of hydr Division Vol 101 N°, Hy 9 paper 11535 P.P 1287-1288 Sept 75.
- 19) IVERSEN, H.W "Studies of submergence requirements of high - Specific - Speed pumps" trans ASME, 75, pp 635-641 (MAY 1953).
- 20) JOLISSE, (L) "Les stations de pompage d'eau : irrigation, rechauve et consommation" PASCAL THÈME REVIEW 1984 N°, 9 P 255 ref 4707 VL 589 pp. 26-42 (1984).
- 21) KERR (S.L) et MOYER (S) - Hydraulic Engineering problems at Southwark Generating Station, Transactions ASCE Vol 64 (1942)
- 22) MARKLAND, E. et POPE, J.A. "Experiments on a small pump suction well, with particular reference to vortex formations" . proc. I. Tech. E., 110, 2, pp 95-105. (1956)
- 23) PAINTER, C.XI. "Vortex formation in sumps of centrifugal pumps" Mining Electrical and Mechanical Engineer, 46, 1543, pp 176, 183 (JAN 66)
- 24) POLIKOVSKI (V) et PERELMAN (R) "La formation des vortex dans un liquide à surface libre (russe)" 1959
- 25). PROSSER, M.J. "The hydraulic design of pump sumps and intakes" BHRA / CIRIA . report (to be published , June 1977).
- 26) PROSSER, M.J. et E. CHANG, M.A. "Intake Design To prevent vortex formation" BHRA Fluid engineering, Cranfield, Bedford, U.K.

- 27) Quick, M.C. "the efficiency of air-entraining vortex formation at water intake" proc. ASCE, Jnl, Hydraul. Div., 96, Hy 7 pp 1403-1416. (July, 1970).
- 28) Quick, M.C. "scale relationships between geometrically similar free spiral vortices" CIVIL ENGINEERING AND PUBLIC WORKS REVIEW Pt II P.P. 1319-1320 Oct 1962
- 29) S. RAGHUNATHAN et KAR.S. "performance characteristics of pump piles" ASME paper no. 75-FE-23, 8 pp. (May, 1975).
- 30) REDDY (I.R.) & PICKFORD. "vortices at intakes in conventional sumps" Proc A STUDIE (works and study) pp 508-510 - March 1972.
- 31) Richardson (C.A.) "Submergence and spacing of suction bells" Water Supply (1941) p 25.
- 32) Stepanoff. (A.J) "pompes centrifuge et pompes helices" (1948).
- 33) SIXTAINSTON, M.J.C "Experimental and theoretical identification of air ingestion regimes in pump sumps" proc. I. Mech. E., 190, 59, pp. 671 - 678. (1976).
- 34) TANER (N.) "Recherches sur les vortex d'aspiration Volume 135 pp. 512-519. decembre 1958)
- 35) TULLIUS (J.P) "Modeling in design of pumping pits" Proc ASCE Journal of the Hydraulic Division HY 9 VL 109 pp 1053-1063 Sept 1979.
- 36) XIONSAK, G "investigations of the inlet flow conditions for vertical immersed centrifugal pumps". Int. Symp. pumps in power stations. Braunschweig. session E, pp E9-E20. (7-9 September, 1966).
- 37) YOUNG, L "AN experimental study of air-entraining vortices in pump sumps" Proc. I. Mech. E., 170, 2, pp 121-123. (1956).
- 38) ZAJDLIK (M) "New checking mode of model parameters for vortex formation in pump tanks" XVII Congress of IAHR BADEN-BADEN D.49. pp. 379-386. 1977
- 39) ZIELINSKI, P.B. and VILLEMONTE, J.R. "Effect of viscosity on vortex orifices flows" Journal of the hydraulics Division Vol 94 N° Hy 3 Proc. paper 5956 P.P. 745-752. May 1968.

